

UNIVERSIDAD DE EL SALVADOR
FACULTAD DE CIENCIAS Y HUMANIDADES
DEPARTAMENTO DE BIOLOGIA

AVANCE SOBRE UN INVENTARIO DE DIATOMEAS
PRESENTES EN LA BAHIA DE JIQUILISCO

RODOLFO FERNANDO MENJIVAR

TESIS PARA OPTAR AL GRADO DE
LICENCIADO EN BIOLOGIA



SAN SALVADOR, FEBRERO DE 1985

Licda. Dona de Kar
Licda. Maitea Leon
y Rosales

UNIVERSIDAD DE EL SALVADOR

FACULTAD DE CIENCIAS Y HUMANIDADES

DEPARTAMENTO DE BIOLOGIA

17.6
M 545a
1985
E 1

"AVANCE SOBRE UN INVENTARIO DE DIATOMEAS PRESENTES EN LA
BAHIA DE JIQUILISCO".

RODOLFO FERNANDO MENJIVAR

TESIS PARA OPTAR AL GRADO DE

LICENCIADO EN BIOLOGIA

CIUDAD UNIVERSITARIA,

SAN SALVADOR, FEBRERO, 1985.

DEDICATORIA

A Jesucristo.

A mis padres Francisco y Blanca con el más profundo amor.

AGRADECIMIENTOS

Al Dr. Sergio Licea Durán por su orientación en el desarrollo del presente trabajo, por el material bibliográfico y de campo aportado para la realización del mismo. A la Lic. Lila Aída -- Gutiérrez por la iniciación en el estudio de las diatomáceas. A la Lic. Judith Dolores Toledo por su asesoría en la presente investigación. Al Lic. Juan Ulloa por permitir el uso de la Estación Marina de Puerto El Triunfo, así como también el uso del equipo de la misma. Al Lic. Manuel Benítez por permitir el uso del microscopio de contraste de fases del laboratorio de Parques Nacionales. Al Dr. Gustavo Adolfo Escobar por su colaboración en la -- modificación de las claves taxonómicas. Al Lic. Víctor Manuel Rosales por su estímulo en el desarrollo de éste. Al Lic. Mario -- Enrique Estrada por su valiosa ayuda prestada para mejorar la redacción de este manuscrito. A la Sr. Irma Marina Matal por la ayuda prestada en la colecta de las muestras. Al Sr. René Rivera Peñate por su colaboración en el acabado de los esquemas. A la -- Srita. Martha Lilian Ramos por el interés y esmero puesto en la -- mecanografía. A los respetables Miembros del Jurado por las oportunas sugerencias y observaciones hechas que mejoraron el contenido de éste, y a todos los compañeros y amigos que de alguna manera contribuyeron a la realización de este trabajo.



TABLA DE CONTENIDOS

UES BIBLIOTECA FAC
CC N.N.YMM

Página

INTRODUCCION	INVENTARIO: 19200851 ..	1
REVISION DE LITERATURA		3
MATERIALES Y METODOS		6
- Descripción del área de estudio.....		6
- Trabajo de campo		7
- Trabajo de laboratorio.....		18
RESULTADOS		10
- Clave de los géneros encontrados.....		12
- Descripción de las especies encontradas.....		25
DISCUSION		119
CONCLUSIONES		123
LITERATURA CITADA		125
ANEXO I. CLASIFICACION DE LAS DIATOQUEAS.		
ANEXO II. GLOSARIO.		
ANEXO III. PLANOS Y EJES DE SIMETRIA DE UNA DIATOQUEA PENNAL.		
ANEXO IV. COMPONENTES DE UNA FRUSTULA.		
ANEXO V. AREOLACION EN CENTRALES.		
ANEXO VI. ESTRIACION EN PENNALES ,		

RESUMEN

Se obtuvo un total de 15 muestras colectadas en 3 estaciones a lo largo de la Bahía de Jiquilisco, a 13° 16' 4" de Latitud Norte y 88° 32' 6" de Longitud Oeste a 20 Km. al Sur de la ciudad de Usulután, El Salvador, durante los meses de Septiembre a Diciembre de 1981. Dichas muestras se analizaron al microscopio encontrándose un total de 50 especies de diatomeas pertenecientes a los géneros Actinoptychus, Asterionella, Asteromphalus, Bacillariae, Bacteriastrum, Biddulphia, Corethron, Coscinodiscus, Cyclotella, Chaetoceros, Diatomeis, Ditylum, Guinardia, Hemiaulus, Lauderia, Leptocyathra, Lithodesmium, Navicula, Nitzschia, Odontella, Pleurosigma, Pyxisicula, Rhizosolenia, Skeletonema, Stephanopyxis, Thalassionema, Thalassiosira, Thalassiothrix y Tropiconeis. Aportando un conocimiento de las especies presentes en la Bahía de Jiquilisco y dando una base para futuros estudios en el área pesquera y taxonómica del grupo de las diatomeas.

Del total de géneros, 10 especies no pudieron ser determinadas debido a la falta de literatura especializada.

En general se encontraron más especies de diatomeas centrales que pennales.

El presente trabajo es el primero en su clase para la Bahía de Jiquilisco.

LISTA DE CUADROS

Cuadro	Página
1 Composición florística de las especies de diatomeas identificadas.....	10

LISTA DE FIGURAS

Figura		Página
1	Área de estudio y localización de las estaciones.	9
2	<u>Actinoptychus senarius</u>	26
3	<u>Asterionella glacialis</u>	28
4	<u>Asteromphalus heptactis</u>	30
5	<u>Bacillaria paxillifor</u>	32
6	<u>Bacteriastrum hyalinum</u>	34
7	<u>Bacteriastrum hyalinum</u>	35
8	<u>Biddulphia alternans</u>	37
9	<u>Corethron criophyllum</u>	39
10	<u>Coscinodiscus contralis</u>	41
11	<u>Coscinodiscus granii</u>	43
12	<u>Coscinodiscus lineatus</u>	45
13	<u>Coscinodiscus wailesii</u>	47
14	<u>Cyclotella stylorum</u>	49
15	<u>Chaetoceros</u> sp. 1	52
16	<u>Chaetoceros</u> sp. 2	53
17	<u>Chaetoceros</u> sp. 3	54
18	<u>Chaetoceros</u> sp. 4	55
19	<u>Chaetoceros curvisetus</u>	57
20	<u>Chaetoceros laevis</u>	59
21	<u>Chaetoceros peruvianus</u>	61
22	<u>Diploneis</u> sp.	63

23	<u>Ditylum brightwellii</u>	65
24	<u>Guinardia flaccida</u>	67
25	<u>Hemisulus sinensis</u>	69
26	<u>Lauderia annulata</u>	71
27	<u>Leptocylindrus denicus</u>	73
28	<u>Lithodesmium undulatum</u>	75
29	<u>Navicula distans</u>	77
30	<u>Nitzschia</u> sp. 1	79
31	<u>Nitzschia</u> sp. 2	80
32	<u>Nitzschia glosterium</u>	82
33	<u>Odontella aurita</u>	84
34	<u>Odontella mobiliensis</u>	86
35	<u>Odontella regia</u>	88
36	<u>Odontella sinensis</u>	90
37	<u>Pleurosigma</u> sp. 1	92
38	<u>Pleurosigma</u> sp. 2	93
39	<u>Pyxidicula cruciata</u>	95
40	<u>Rhizosclenia</u> sp.	97
41	<u>Rhizosolenia alata</u>	99
42	<u>Rhizosolenia calcar avis</u>	101
43	<u>Rhizosolenia robusta</u>	103
44	<u>Rhizosolenia stolterfothii</u>	105
45	<u>Skeletonema costatum</u>	107
46	<u>Stephanopyxis turris</u>	109

47	<u>Thalassionema nitzschiaoides</u>	111
48	<u>Thalassionema nitzschiaoides</u>	112
49	<u>Thalassiosira polychorda</u>	114
50	<u>Thalassiothrix frauenfeldii</u>	116
51	<u>Tropidoneis lepidoptera</u>	118

INTRODUCCION

El fitoplancton es la parte fotosintética del plancton que se encuentra suspendida en el agua. Sus principales componentes son diatomeas, algunas dinoflagelados, silicoflagelados, coccolitoforidos y algunas algas cianofitas y clorofitas (Zeitzschel, 1978).

El fitoplancton es de gran importancia ecológica y es llamado el "pasto" del medio acuático marino y dulceacuícola, debido a que los organismos que lo forman son autótrofos y son los responsables en forma directa de la producción primaria neta en los cuerpos de agua, constituyendo de esa manera el primer eslabón de las cadenas alimenticias (Santoyo, 1972; Zeitzschel, 1978; Licea-Durán *et al.*, 1980). Se estima que el total de la producción primaria neta de las plantas en el mundo es de 1.4×10^{14} Kg de peso seco por año, del cual un 40% es producido por especies de fitoplancton marino (Golley, 1972), significando esto que dichas especies fijan el carbono de casi 2×10^3 Kg por año (Strickland, 1972).

Las diatomeas son organismos unicelulares, autótrofos, con una pared constituida por proteína y pectina e impregnada de sílice. Dicha pared está constituida por dos piezas o valvas que ensayan por sus bordes una dentro de la otra y que presenta relieves y poros. Viven en aguas marinas, salobres, continentales y en el suelo, en la mayoría de los ambientes con suficiente humedad y luz. Sus dimensiones oscilan entre 2 μ y 4 mm; aunque la mayoría quedan entre 10 y 300 μ (Margaleff, 1972).

Hasle (1977), afirma que las diatomas contribuyen a la producción primaria neta en el mundo, en un porcentaje del 20 al 25%, y esto se debe a que desempeñan un papel dominante en las áreas productivas de los océanos, así como también en las áreas de emergencia y en las plataformas continentales. Las diatomas son de interés como alimento, ya que ellas han sido por muchos años conocidas como una fuente alimenticia primordial para la fauna de los océanos, tales como : larvas, protozoarios, peces, etc. (Phifer, 1933; Cupp, 1943; Zeitzschel, 1978). Debido a este papel relevante que desempeñan es que tienen importancia en la economía pesquera (Moreira Filho et al., 1971).

Por estas razones se hace esencial el estudio de ellas, ya que en El Salvador, el desarrollo pesquero enfrenta una serie de problemas biológicos que es necesario conocerlos y estudiarlos para aportar soluciones que impulsen este rubro económico.

Este trabajo pretende ser un aporte al conocimiento de las especies de diatomas presentes en la Bahía de Jiquilisco, esperando que sea una base para futuros estudios, tanto en el área pesquera como en el área taxonómica de este grupo tan importante en el ecosistema acuático. Este estudio podrá además contribuir al desarrollo pesquero de El Salvador, así como también a la motivación de futuras investigaciones sobre estos organismos en otras playas de El Salvador.

REVISION DE LITERATURA

Las diatomas a nivel mundial han sido bastante estudiadas, - principalmente en Estados Unidos, que es el lugar donde se encuentra buen número de investigadores del fitoplancton.

Se han realizado trabajos de diatomas sobre diferentes aspectos, pero al parecer la taxonomía es el tema que más ha interesado a los científicos especializados en esta área. Se han llevado a cabo estudios completos acerca de su clasificación en muchas partes del mundo, tales como: Diatomas Planctónicas de los Mares del Norte (Lebour, 1930), Diatomas del Plancton Marino de la Costa este de Norteamérica (Cupp, 1943), Fitoplancton de la Costa de Puerto Rico (Margaleff, 1957), Fitoplancton y especies ciliadas del Pacífico Tropical (Hasle, 1960), pequeñas algas (Bacillariophyceae) de las aguas de la Costa Británica (Handay, 1964) y Diatomas de las Islas Galápagos (Handay, 1971). Hasle (1964, 1973, 1976, a y b), ha reportado varios trabajos sobre diatomas, haciendo énfasis en sus componentes estructurales, especialmente en los géneros: Nitzschia, Fragilariaopsis, Thalassiosira, Rhizosolenia.

Las diatomas son óptimas indicadores de condiciones ambientales y pueden ser usadas para identificar regiones naturales de los océanos, ejemplo: boreal, subtropical, tropical (Mayer-Rosa & --- Wilhelms Aguiar, 1973; Zaitzschel, 1978; Burselato & Wilhelms Aguiar, 1979). Estas regiones pueden ser caracterizadas por especies típi-

caso grupos de especies (Zeitzschel, 1978).

En los países Latinoamericanos también se han realizado estudios sobre diatomas, tanto en su aspecto taxonómico como en su aspecto ecológico. Avaria (1971), hizo estudios de variaciones mensuales del fitoplancton de la Bahía de Valparaíso (Chile); Moreira Filho et al (1971), diatomas de Puerto Salemary (Perú); Santoyo (1972), variaciones estacionales del fitoplancton en la Laguna de Yavaras (Méjico); Rosa Meyer & Wilhelms Aguiar (1973), diatomas de la costa del Río Grande del Sur (Brasil); Licea-Durán (1974), distribución de diatomas en la Laguna de Aguaibampo (Méjico); Ferrario (1975); diatomas del Lago Puelo (Argentina); Bursalata & Wilhelms Aguiar (1979), diatomas del Río Mamputuba, Torres y Río Grande del Sur (Brasil); Santoyo & Signoret (1979), fitoplancton de la Laguna del Mar Guerto en el sur del Pacífico de Méjico; y Licea-Durán et al (1980), sobre fitoplancton en la Sonda de Campeche (Méjico).

Por otro lado, Von Stosch (1974), Simonsen (1974) y Ross et al (1979), han realizado trabajos que hablan de la terminología más empleada en la descripción de las especies de diatomas. Burns (1977), ha editado una serie de trabajos que han contribuido al desarrollo de la biología.

El estudio de las diatomas en El Salvador es limitado. Hustadt

(1953), reporta flora de diatomeas en paredones sobrehumedecidos en El Salvador; Calderón & Hernández (1975), reportan algunos géneros de ellas en un estudio biológico-pesquero de la Bahía de La Unión, y Gutiérrez (1979), trata sobre diatomeas presentes en el Estero de El Tamarindo. También existe un trabajo no editado de Gutiérrez & Menjívar (1979), el cual reporta especies de diatomeas en la costa de La Libertad.

MATERIALES Y METODOS

Descripción del área de estudio.

El estudio fue realizado en 3 estaciones localizadas a lo largo de la Bahía de Jiquilisco, a 13° 16' 4" de Latitud Norte y 88° 32' 6" de Longitud Oeste a 20 Km. al Sur de la ciudad de Usulután, El Salvador. La Bahía tiene una longitud total de 54 km. y comprende las islas: Isla de San Juan, Cocodrilo, Los Pajaritos o del Guayabo, El Acoitunal, del Limón, El Arco, De Samurái, Isla de Monte, Zamorancito, Conacaste, Cumichín, El Guayabo, El Cartón, El Uaguayal, Las Cosinas, Monte Redondo, La Empalizada o El Cogado, Tortuga, El Espíritu Santo, Madre Sel, San Dionisio, Pajarito, San Sebastián, Mundo Nuevo, El Platanar y Los Cedros.

Las estaciones se localizaron, tomando en cuenta la salinidad, profundidad y afluencia de ríos, en las siguientes poblaciones (Fig. 1) :

Estación 1 : Chiquantique, situada a 5.4 Km. al Sur de la ciudad de Jiquilisco.

Estación 2 : Corral de Mulas, situada a 6.5 Km. al Sur del pueblo de Puerto El Triunfo.

Estación 3 : Varió en cada muestreo en las siguientes poblaciones: Bocana El Bajón, situada a 15 Km al SE del pueblo de Puerto El Triunfo, Golfo de Perre, situado a 12.5 Km al SE del pueblo de Puerto El Triunfo. Punta San Juan, situada a 12.8 Km. al SE del pueblo de Puerto El

Isla Triunfo, Isla San Sebastián, situada a 12 Km. al SW del pueblo de San Dionisio, con un área de 8,90 Km². - Isla Pajarito, situada a 11,8 Km. al SE del pueblo de Puerto El Triunfo.

La batimetría presenta una profundidad de 1-20 m, dependiendo de la estación del estado de la marea y de la época del año: seca o lluviosa.

La temperatura mensual oscila entre 29° - 31° C, manteniendo un promedio de 29,7°C durante todo el año.

Trabajo de campo.

En las 3 estaciones seleccionadas se procedió a tomar muestras de agua obtenidas con una botella Van-Dorn de 4 litros de capacidad, mediante un arrastre vertical de columnas de agua que variaron de 1 a 20 m, dependiendo de la profundidad de la estación. Las muestras fueron fijadas en formalina neutralizada al 4% y conservadas en frascos ámbar.

En cada estación se tomaron medidas con frecuencia quincenal de la profundidad, salinidad, temperatura, oxígeno disuelto y pH, teniendo al final del mes un promedio mensual para cada estación.

Se analizaron un total de 15 muestras colectadas en las esta-

ciones durante los meses de Septiembre a Diciembre de 19'1.

Trabajo de Laboratorio.

El estudio fue hecho utilizando un microscopio compuesto y uno de contraste de fases, ambos con un ocular de 10 diámetros, laborando para cada muestra esquemas representativos con sus respectivas medidas expresadas en micras, utilizando para ello una lámina especial con 10 divisiones, teniendo una división al equivalente de 28.6 u a un aumento de 40 diámetros. Las medidas de los esquemas se obtuvieron a un aumento de 40x. Los esquemas son presentados en vista valver y cinguler.

Para la identificación taxonómica se utilizaron claves de Capp (1943), Hsieh (1964), Mulford & Roberts (1965), Saunders & Glenn (1969), Vinyard (1974 y 1975) y Tuster & Steidinger (1979).

Se determinaron géneros y especies, y en los casos en que fue imposible determinar la especie se los denominó con un número arábige cardinal a individuos del mismo género.

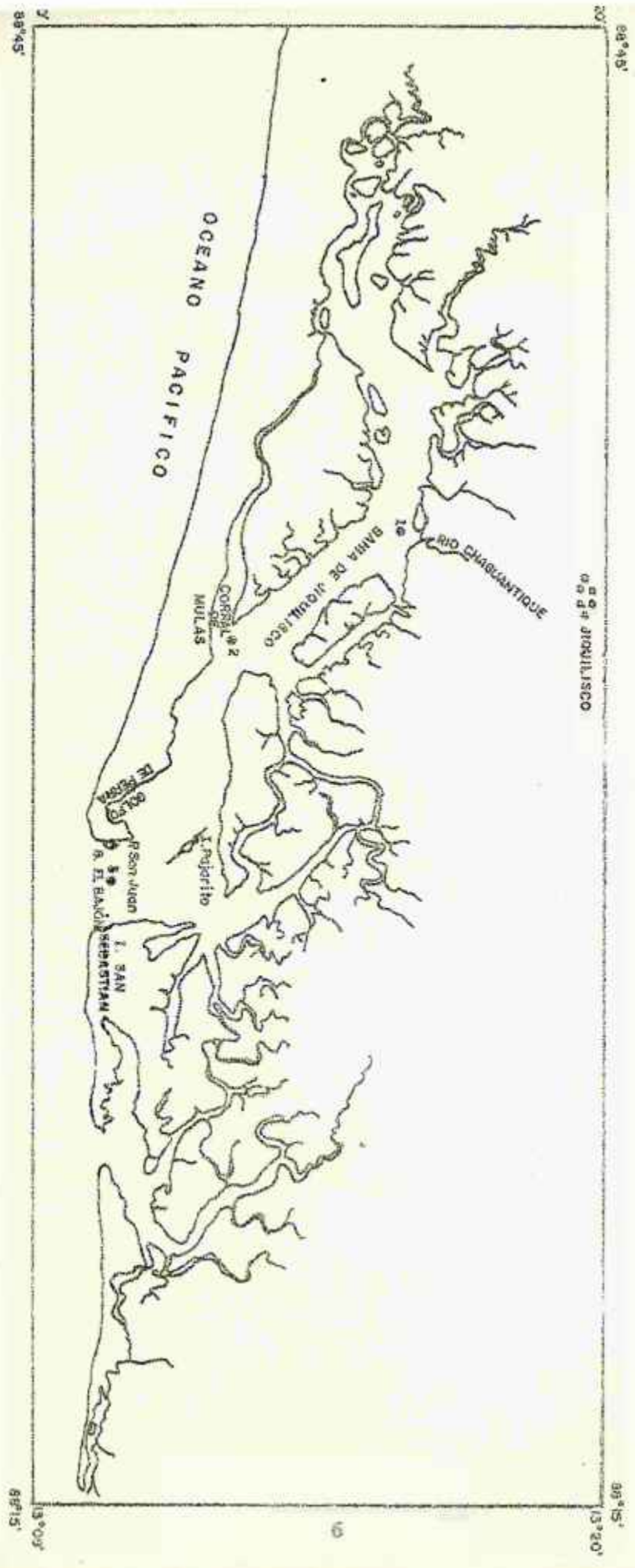


Fig. 1. Área de estudio, mostrando la localización de las estaciones.

RESULTADOS

Las diatomeas encontradas se incluyen en el siguiente cuadro:

CUADRO 1. Composición florística de las especies de diatomeas identificadas.

ORDEN	FAMILIA	GENERO	ESPECIE
CENTRALES	COSCINODISCACEAE	<u>Pyxidicula</u>	<u>cruciata</u>
		<u>Stephanopyxis</u>	<u>turris</u>
		<u>Coscinodiscus</u>	<u>centralis</u>
			<u>granii</u>
			<u>lineatus</u>
			<u>wailesii</u>
		<u>Skeletonema</u>	<u>costatum</u>
		<u>Cyclotella</u>	<u>stylorum</u>
		<u>Thalassiosira</u>	<u>polychorda</u>
		<u>Actinoptychus</u>	<u>sonarius</u>
ACTINODISCACEAE	<u>Asteromphalus</u>		<u>heptactis</u>
		<u>Odontella</u>	<u>aurita</u>
			<u>mobilis</u>
			<u>regia</u>
			<u>sinensis</u>
SOLENIACEAE	<u>Lauderia</u>		<u>annulata</u>
		<u>Ditylum</u>	<u>brightwellii</u>
		<u>Guinardia</u>	<u>flaccida</u>
		<u>Lithodesmium</u>	<u>undulatum</u>

Viene Cuadro 1

ORDEN	FAMILIA	GENERO	ESPECIE
		<u>Rhizosolenia</u>	<u>aleata</u>
			<u>calcar-avis</u>
			<u>robusta</u>
			<u>stolterfothii</u>
		<u>Ceratodon</u>	<u>criophyllum</u>
		<u>Leptocylindrus</u>	<u>danicus</u>
	CHAETOCERACEAE	<u>Bacteriastrum</u>	<u>hyalinum</u>
		<u>Chaetoceros</u>	<u>curvisetus</u>
			<u>laevis</u>
			<u>peruvianus</u>
	BIDULPHIACEAE	<u>Biddulphia</u>	<u>alternans</u>
		<u>Hemiaulus</u>	<u>sinensis</u>
PENNALES	FRAGILARIACEAE	<u>Asterionella</u>	<u>glacialis</u>
		<u>Thalassionema</u>	<u>nitzschiodes</u>
		<u>Thalassiothrix</u>	<u>frauenfeldii</u>
	NAVICULACEAE	<u>Navicula</u>	<u>distans</u>
		<u>Pleurosigma</u>	
		<u>Tropidoneis</u>	<u>legidoptera</u>
		<u>Diploneis</u>	
	NITZSCHIACEAE	<u>Sacchararia</u>	<u>saxillifer</u>
		<u>Nitzschia</u>	<u>closterium</u>

A continuación se presenta una clave para los géneros de diatomas obtenidos, luego se describen cada una de las especies encontradas.

Clave a los géneros encontrados en el presente trabajo.*

- 1a. Células agrupadas, formando colonias, filamentos, etc... 2
- 1b. Células solitarias (incluyendo células separadas de las colonias)..... 10
- 2a (1). Células en pares, valvas hemisféricas formando frústulas globosas... *Pyxidicula* (*P. cruciata*, p. 94)
- 2b (1) Sin esa combinación de caracteres..... 3
- 3a (2). Células nunca formando filamentos o listones..... 4
- 3b (2). Células formando filamentos o listones..... 12
- 4a (3). Células envueltas en masas gelatinosas amorfas, en forma de disco o tambores, sin protuberancias..... 5
- 4b (3). Células no envueltas en masas gelatinosas..... 6
- 5a (4). Ornamentación de las valvas de dos diseños concéntricos diferentes, el interno liso • irregularmente punteado y el externo con estrías • puntuación radial....
..... *Cyclotella* (*C. stylorum*, p. 48)
- 5b (4). Ornamentación de las valvas nunca de dos diseños concéntricos..... *Talessiosira* (*T. polychorda*, p. 13)

*Modificada de Vinyard (1975).

- 6a (4). Células formando grupos en forma de abanico, peline, estrella o espirales; pegadas una con otra sólo en un extremo..... 7
- 6b (4). Células en cadenas en forma de zig-zag, pegadas en las esquinas por colchones mucilaginosos.... 9
- 7a (6). Vista cingular con el extremo basal de la célula alargado; paredes lisas...Asterionella (A. glacialis, p. 27)
- 7b (6). Vista cingular con los extremos de las células similares o con una protuberancia inmediatamente detrás del extremo basal, paredes usualmente con espículas diminutas..... 8
- 8a (7). Células con los extremos iguales, relativamente cortas, casi siempre menos de 800, la longitud menos de 30 veces que el ancho.....
.....Thalassionema. (T. nitzschiooides, p. 110)
- 8b (7). Células con los extremos desiguales, relativamente largas, hasta 4 mm, la longitud de 40-700 veces que el ancho.....
.....Thalaseiothrix. (T. frauenfeldii, p. 115)
- 9a (6). Procesos presentes en los márgenes apicales, alargados o cortos y redondeados, con o sin espinas en el centro del ápice..... 10
- 9b (6). Procesos ausentes..... 11

- 10a (9). Procesos alargados, con espinas en el centro --
del ápice.....Odentella (O. surita, p. 83;
O. mobilensis, p. 85; O. regis, p. 87; O. sinensis, p. 89)
- 10b (9). Procesos cortos y redondeados, sin espinas en --
el centro del ápice..Biddulphia. (B. alternans, p. 36)
- 11a (9). Vista valvar con los extremos iguales; 30-80u de largo..
.....Thalassionema. (T. nitzschiaoides, p. 110)
- 11b (9). Vista valvar con los extremos desiguales; 90-4000u de --
largo.....Thalassiothrix. (T. frauenfeldii, p. 115)
- 12a (3). Procesos ausentes o si presentes más cortos que
el diámetro de la célula..... 13
- 12b (3). Procesos presentes, varias veces más largos que
el diámetro de las células..... 25
- 13a (12). Células separadas, pero conectadas por hilos, tubos o --
agujas formando cadenas..... 14
- 13b (12). Células no separadas, sino que conectadas por sus pare-
dos, con o sin procesos..... 20
- 14a (13). Células en forma de disco o tambor, adheridas
por hilos gelatinosos..... 15
- 14b (13). Células alargadas, más o menos cilíndricas; o
las valvas con 3 esquinas y los márgenes endue-
lados..... 16

- 15a (14). Ornamentación de las valvas de dos diseños concéntricos diferentes, el interno liso o irregularmente punteado y el externo con estrías o puntuación radial...
- Cyclorella. (C. stylorum, p. 48)
- 15b (14). Ornamentación de las valvas nunca de dos diseños concéntricos..... Thalassiosira. (T. polychorda, p. 113)
- 16a (14). Valvas, en vista valvar, con márgenes ondulados..... Lithodesmium. (L. undulatum, p. 74)
- 16b (14). Valvas, en vista valvar, alargadas, más o menos cilíndricas..... 17
- 17a (16). Células unidas por dos procesos centrales y apicales.. 18
- 17b (16). Células adheridas en sus extremos apicales por un sistema de tubos o agujas silíceas..... 19
- 18a (17). Procesos alargados, con espinas en el centro del ápice..... Odontella.
(O. aurita, p. 83; O. mobilis, p. 85; O. regis, p. 87; O. sinensis, p. 89).
- 18b (17). Procesos cortos y redondeados, sin espinas en el centro del ápice..... Biddulphia. (B. alternans, p. 37)
- 19a (17). Valvas con una estructura arbolada en forma de rod...
- Stephanopyxis. (S. turris, p. 109)
- 19b (17). Valvas sin una estructura definida.....
..... Skeletonema. (S. costatum, p. 107)

- 20a (13). Longitud de la célula usualmente no mayor que el diámetro o raramente 1 1/2 veces más larga.....Lauderia. (L. annulata, p. 70)
- 20b (13). Longitud de la célula mayor de 1 1/2 veces que el diámetro.....21
- 21a (20). Valvas con espinas.....Rhizosolenia.
(R. sp. p. 96; R. alata, p. 97; R. calcar-avis, p. 100;
R. robusta, p. 102; R. stolterfothii, p. 104).
- 21b (20). Valvas sin espinas.....22
- 22a (21). Células elípticas con los extremos en disminución..Nitzschia. (N. sp. 1, p. 78; N. sp. 2, p. 79;
N. closterium, p. 81).
- 22b (21). Células cilíndricas con los extremos planos.23
- 23a (22). Filamentos de células más o menos irregulares en su contorno; es decir, como formando escalones, debido a que las células vivas se deslizan una sobre la otra....
.....Bacillaria. (B. paxillifer, p. 31)
- 23b (22). Filamentos de células regulares en su contorno; las células vivas nunca deslizándose una sobre otra.....24
- 24a (23). Zona cingular sin ninguna estructura visible.....
.....Leptocylindrus (L. dominus, p. 71)
- 24b (23). Zona cingular con numerosas bandas intercalares en forma de collar.....
.....Guinardia. (G. flaccida, p. 66)

- 25a (12). Células unidas en filamentos en forma de cadenas por medio de sus setas.....26
- 25b (12). Células unidas solamente poco tiempo después de la división celular, de otra manera solitarias.....27
- 26a (25). Dos setas por valva.....Chaetoceros.
 (C. sp. 1, p. 50; C. sp. 2, p. 50; C. sp. 3, p. 50; C. sp. 4, p. 50; C. survisetus, p. 56; C. peruvianus, p. 60; C. laevis, p. 58).
- 26b (25). Seis setas o más por valva.....
Bacteriostrum. (B. hyalinum, p. 33).
- 27a (25). Cada valva con numerosos procesos en forma de borona en los márgenes de los ápices de las células.....
Corethron. (C. crinophilum, p. 35)
- 27b (25). Cada valva con sólo un proceso.....28
- 28a (27). Valvas con el proceso localizado centralmente en la superficie plana de la valva.....
Ditylum. (D. brightwellii, p. 64).
- 28b (27). Valvas más o menos puntiagudas oblicuamente para formar una espina.....
Rhizosolenia. (R. sp. p. 96; R. alata, p. 96; R. calcar-avis, p. 100; R. robusta, p. 102; R. stoltzfusii, p. 104).

29a (1). Contorno de las valvas circular; células globosas, cilíndricas o en forma de disco.....	30
29b (1). Contorno de las valvas no circular; células de otra forma.....	48
30a (29). Valvas hemisféricas, formando células glebas.....	<u>Pyxidicula</u> . (<u>P. cruciata</u> , p. 94)
30b (29). Valvas nunca hemisféricas; células cilíndricas o en forma de disco.....	51
31a (30). Procesos presentes, varias veces más largos que el diámetro de la célula.....	32
31b (30). Procesos ausentes o nunca más largos que el diámetro de la célula.....	35
32a (31). Cada valva con sólo un proceso.....	33
32b (31). Cada valva con más de un proceso.....	34
33a (32). Valvas con el proceso central en la superficie plana.....	<u>Ditylum</u> (<u>D. brightwellii</u> , p. 64)
33b (32). Valvas más o menos juntiagudas oblicuamente para formar una espina.....	<u>Rhizosolenia</u> . (<u>R.</u> sp. - p. 96; <u>R. alata</u> , p. 98; <u>R. calcar-avis</u> , p. 100; <u>R. robusta</u> , p. 102; <u>R. stoltzneri</u> , p. 104).
34a (32). Dos setos por valva.....	<u>Cryptoceros</u> . (<u>C.</u> sp. 1, p. 50; <u>C.</u> sp. 2, p. 50; <u>C.</u> sp. 3, p. 50; <u>C.</u> sp. 4, p. 50; <u>C. curvisetus</u> , p. 57; <u>C. peruvianus</u> , p. 60; <u>C. laevis</u> , p. 68).
34b (32). Seis setos o más por valva..	<u>Bacteriostrom</u> (<u>B. hyalinum</u> , p. 33).

- 35a (31). Valvas con un borde de tubos o agujas paralelas al eje longitudinal de la célula..... 36
- 35b (31). Valvas con proyecciones cortas y redondeadas, con espinulas marginales pequeñas o sin ningún proceso..... 37
- 36a (35). Valvas con una estructura arrebolada un furgas de red..... Stephanopyxis. (S. turris, p. 108)
- 36b (35). Valvas sin ninguna estructura.....
- Skeletonema. (S. costatum, p. 106)
- 37a (35). Valvas con proyecciones cortas y redondeadas..... 38
- 37b (35). Valvas sin proyecciones cortas y redondeadas, pero a veces con espinulas marginales pequeñas de diferentes tamaños..... 40
- 38a (37). Longitud de la célula normalmente no mayor que el diámetro o raramente 1 1/2 veces más larga..... Lauderia. (L. annulata, p. 70)
- 38b (37). Longitud de la célula más de 1 1/2 veces que el ancho..... 39
- 39a (38). Valvas con espinas..... Rhizosolenia.
(R. sp. p. 95; R. plato, p. 98; R. calcareo-vis, p. 101;
R. robusta, p. 102; R. stolterfothii, p. 104).
- 39b (38). Valvas sin espinas..... Guinardia. (G. flaccida, p. 57)

- 40a (37). Células en forma de un cilindro corto o como discos, longitud menor que el diámetro..... 41
- 40b (37). Células como un cilindro largo, al menos 2 veces más largas que el diámetro..... 45
- 41a (40). Valvas con una estructura en forma de estrella, con radios anchos y cristalinos del centro hacia el margen...
- Asteromphalus. (A. heptactis, p. 29)
- 41b (40). Valvas sin dicha estructura..... 42
- 42a (41). Valvas fuertemente abultadas radialmente, divididas en sectores alternos altos y bajos..
- Actinocythus. (A. senarius, p. 25)
- 42b (41). Valvas nunca o sólo ligeramente abultadas radialmente..... 43
- 43a (42). Ornamentación de las valvas de dos diseños concéntricos, el interno liso o irregularmente punteado y el externo con estrías o puntuación radial.....
- Cyclotella. (C. stylorum, p. 48)
- 43b (42). Ornamentación de las valvas nunca de dos diseños concéntricos..... 44
- 44a (43). Valvas punteadas radialmente o con un diseño de marcas poligonales..... Coscinodiscus.
- (C. centralis, p. 40; C. granii, p. 42; C. lineatus, p. 44; C. willeii, p. 46).
- 44b (43). Valvas con o sin puntuación radial, pero sin marcas poligonales.. Thalassiosira. (T. polychorda, p. 113).

- 45a (40). Valvas con una punta excéntrica o al menos con un pequeño proceso excéntrico.....Rhizosolenia.
 (R. sp., p. 96; R. alata, p. 98; R. calcar-avis, p. 100; R. robusta, p. 102; R. stolterfothii, p. 104).
- 45b (40). Valvas sin una punta excéntrica.....46
- 46a (45). Valvas con una espina central y una corona de pequeñas espinulas en el borde.....
Ditylum. (D. brightwellii, p. 86)
- 46b (45). Valvas sin espinas.....47
- 47a (46). Zona cingular sin ninguna estructura visible.....
Leptocylindrus. (L. Janicus, p. 2).
- 47b (46). Zona cingular con numerosas bandas en forma de collar o medio collar, con los extremos en forma de cuña.....
Guinardia. (G. flaccida, p. 66)
- 48a (29). Contorno de la valva ovalada, elíptico o con 3-4 ángulos.....49
- 48b (29). Contorno de la valva linear o lanceolado.....57
- 49a (48). Valvas lisas, sin procesos o espinas..Diploneis. (D. so, p. 63)
- 49b (48). Valvas con procesos o espinas.....50
- 50a (49). Contorno de las valvas semicircular a asimétricamente elíptico o con 3-4 ángulos.....51
- 50b (49). Contorno de las valvas nunca con 3-4 ángulos; valvas alargadamente elípticas y bilateralmiente simétricas.....53

- 51a (50). Con una espina por valva y con una corona de pequeñas espines en la orilla.....Ditylum. (D. brightwellii, p. 64)
- 51b (50). Espinas, si acaso presentes, más de una por valva; con dos procesos o cuernos redondeados en el margen de la valva..... 52
- 52a (51). Procesos alargados, con espines en el centro del ápice.....Oclantula.
(O. aurita, p. 83; O. mobilisensis, p. 85; O. regia, p. 87; O. sinensis, p. 89).
- 52b (51). Procesos cortos y redondeados, sin espines en el centro del ápice.....Bidculphia.
(B. alternans, p. 36).
- 53a (50). Valva terminando en una sola espina exocéntrica.....
Rhizosolenia. (R. sp. p. 96; R. elata, p. 98; R. calcareavis, p. 100; R. robusta, p. 102; R. stolterfothii, p. 104)
- 53b (50). Valva nunca terminando en una sola espina exocéntrica.. 54
- 54a (53). Proyecciones de las valvas terminando en dos setas largas y opuestas, mucho más largas que el diámetro de la célula.....Chaetoceros.
(C. sp. 1, p. 50; C. sp. 2, p. 50; C. sp. 3, p. 50; C. sp. 4, p. 50; C. curvisetus, p. 56; C. peruvianus, p. 60; C. laevis, p. 58).
- 54b (53). Proyecciones de las valvas nunca terminando en setas largas; con dos procesos redondeados o en forma de cuernos, pero más cortos que el diámetro de la célula..... 55

- 55a (54). Valvas sin espinas originándose del centro de la valva;
con procesos laterales largos y terminando en una o más
garzas cristalinas.....Hemiaulus. (H. sinensis, p. 68)
- 55b (54). Valvas con dos espinas apicales originándose del con-
tacto de la valva; procesos laterales redondeados o como
cuernos.....56
- 56a (55). Procesos alargados, con espinas en el centro
del ápice.....Odontella.
(O. aurita, p. 83; O. mobilis, p. 85; O.
regia, p. 87; O. sinensis, p. 89).
- 56b (55). Procesos cortos y redondeados, sin espinas en
el centro del ápice.....
.....Biddulphia. (B. alternans, p. 36)
- 57a (48). En vista cingular, un extremo más ancho que el otro...
.....Asterionella (A. glacialis, p. 27)
- 57b (48). En vista cingular, ningún extremo más ancho que el otro.
.....58
- 58a (57). En vista cingular, con bandas o septos inter-
calares.....Nitzschia.
(N. sp. 1, p. 78; N. sp. 2, p. 79; N. closterium, p. 81)
- 58b (57). En vista cingular, sin bandas o septos inter-
calares.....59
- 59a (58). Valvas más o menos sigmoides con un rafe más o menos
sigmoides (usualmente más pronunciado en los ápices)....
Pleurosigma. (P. sp. 1, p. 91; P. sp. 2, p. 91).
- 59b (58). Valvas nunca sigmoides.....60

- 60a (59). Valvas con un rafe normal y un nódulo central;
las valvas naviculares.....61
- 60b (59). Valvas sin rafe, no naviculares.....62
- 61a (60). Valvas con una quilla al centro; pared muy delgada y sin
sin estrías.....Irocoideonisis. (I. lepidoptera, p. 17)
- 61b (60). Valvas planas, sin quilla; pared gruesa con costas o -
estrías bien definidas....Navicula (N. distans, . p.76)
- 62a (60). Células con los extremos iguales, relativamente cortas, usualmente menos de 800, la -
longitud menos de 30 veces el ancho.....
.....Thalassionema. (T. nitzschiae, p. 110)
- 62b (60). Células con los extremos iguales o casi iguales,
usualmente largas, hasta 4 mm. la longitud 50-
700 veces el ancho.....Thalassiothrix.
(I. frauenfeldii, p. 115).

Descripción de las especies identificadas.

Actinostyulus senarius (Ehrenberg) Ehrenberg (=A. undulatus).

Cupp, 1943, p. 67, fig. 29

Fig. 2, p. 26.

Células en forma de disco con seis sectores radiales, alternados en diferentes planos. Diámetro de 40-85 μ . Campo central liso, hexagonal. Los sectores elevados (raramente todos los sectores) con un proceso corto, despuntado en la mitad del borde inferior del margen, fuertemente areolado y punteado. Areolas hacia el exterior de la célula en completas líneas radiales paralelas, hacia el centro es irregular. Los sectores hundidos usualmente sin un proceso, en lugar de areolas sólo están marcados débilmente - puntos que son señalados por una red de delicadas líneas. Puntuación gruesa, estricación radial menos llamativa, filas oblicuas - fuertes. Margen de la valva angosto, débilmente estricado. Numerosas espinas pequeñas en otra parte de la valva y en el margen de la valva. Numerosas cromatóforos. Especie de fondo. Frecuentemente encontrada en el plancton. Cosmopolita de regiones templadas-heladas a tropicales. Micoplanctónica, estuarina, marítima y oceánica.

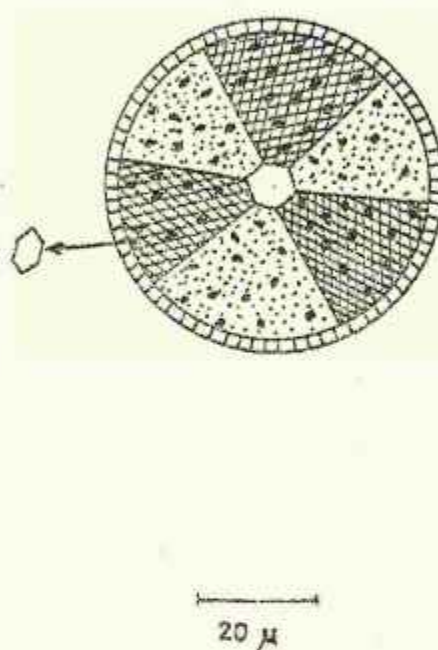


Fig. 2. *Actinostyphus sennarii* (= *A. undulatus*). Célula en vista valver mostrando los seis sectores y su escultura. Diámetro: 57 μ .

Asterionella glacialis Castracane (= A. japonica).

Cupp, 1943, p. 188, fig. 138.

Fig. 3, p. 28.

Células unidas en colonias en espiral como estrella. Muy angosta y linear en vista constructiva con lados paralelos, con tres regiones esquinadas, grandemente ampliadas en la base. Células unidas en las esquinas de la región basal. Velas muy angostas, - con una región ancha como protuberancia en la base. Largo de la valva de 30-150 μ ; largo de la región basal de 10-23 μ ; ancho de la parte amplia de 8-12 μ . Estrías transapicales muy delicadas. Uno o dos pequeños chromatóforos sólo en la base de la parte amplia. Especie común de amplia distribución. A menudo en grandes poblaciones. Cosmopolita de regiones templadas-heladas a tropicales. Una especie nerítica y estuarina.

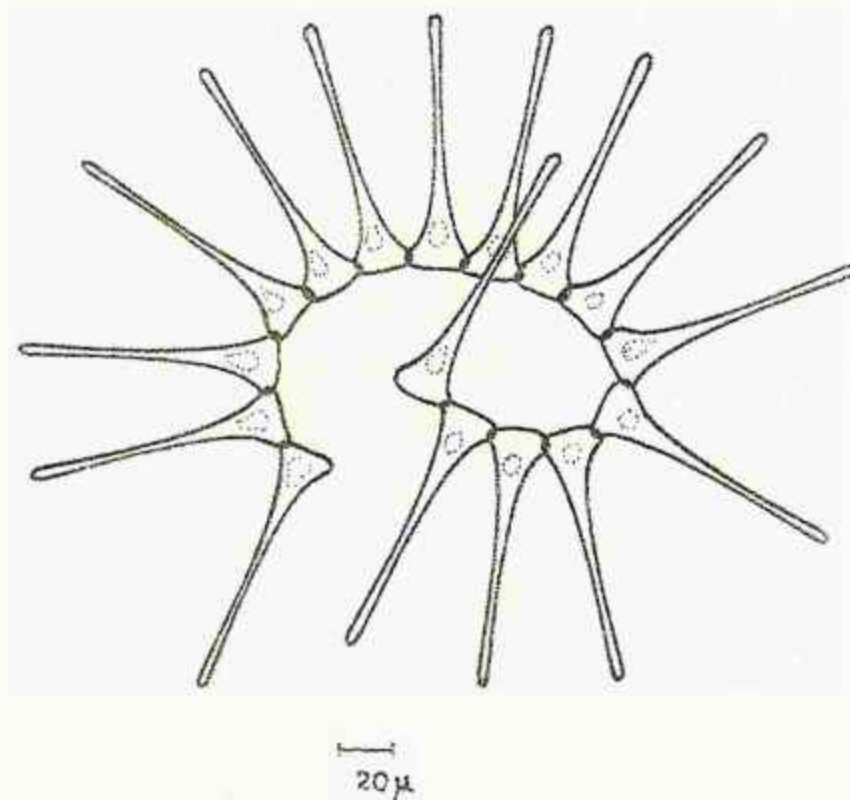


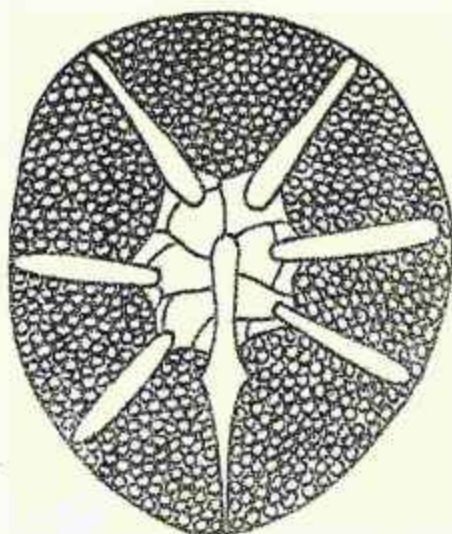
Fig. 3. Asterionella glacialis (= A. japonica). Colonia
en vista conectival. Largo de las células: 91 μ .
Ancho de la parte basal : 14 μ .

Asteromphalus heptactis (Brébisson) RaIfs.

Cupp, 1943, p. 69, fig. 32.

Fig. 4, p. 30.

Células sencillas, en forma de disco, de contorno circular o ligeramente ovoide. Valvas planas, con ondulaciones radiales. Areolación con una región central lisa y rayos radiales lisos, cerrando del área central lisa hacia el margen. Rayos elevados sobre el plano de la valva. Un rayo más angosto que los otros. Usualmente siete rayos de largo diferente, el rayo angosto un poco más largo que los otros. Campo central ligeramente excentrico. Zona conectival ondulada, seguida de rayos y depresiones entre ellos. Diámetro de la célula: 38-100u. Areolación más o menos larga. Numerosos chromatóforos, a menudo arreglados en rayos. Especie de zona templada. Oceánica.



20 μ

Fig. 4. Asteromphalus heptactis. Célula en vista valvar.

Diámetro: 131 μ .

Bacillaria paxillifer (D.T.Müller) Hendey (=Nitzschia paradoxa).

Cupp, 1943, p. 206, fig. 159.

Fig. 5, p. 32.

Células unidas lateralmente reunidas en colonias móviles. En vista conectival rectangular. En vista valvar lineal-lanceolada con terminaciones prolongadas, queille cerca del centro. Largo de las valvas de 80-115 μ ; ancho 5-6 μ . Numerosos chromatóforos pequeños. Núcleo central. Especie marina litoral y de aguas salobres. Ocasionadamente presente en el plancton. Común, cosmopolita de regiones templadas-holadas a tropicales. Especie ticeoplanctónica, norítica y estuarina.

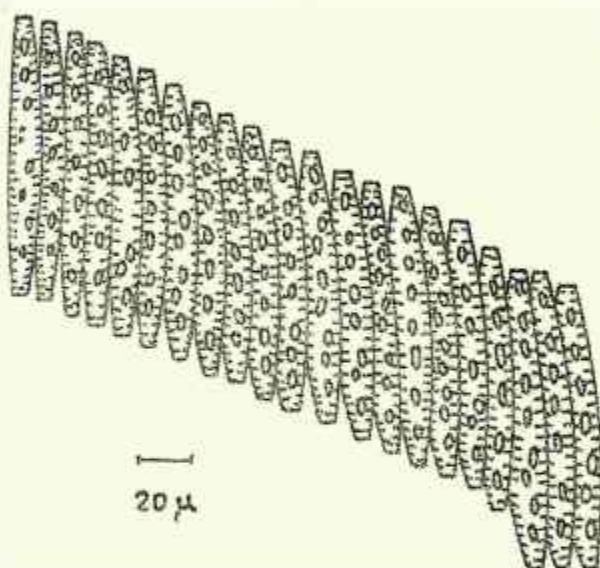


Fig. 5. Bacillaria parvillifera. (= Nitzschia paradox).

Colonia en vista constival; largo de las células:
100 μ .

Bacteriastrum hyalinum Lauder.

Cupp, 1943, p. 96, fig. 56-A.

Figs. 6 y 7, pp. 34 y 35.

Células cilíndricas, de 14-20 μ de diámetro. Eje perivalvar o monudo es más corto que el diámetro. Forman cadenas largas, rectas o ligeramente curvas. Aberturas estrechas pero diferenciables. Cerdas interiores de 12-25 en cada valva, con una parte basal corta, bifurcación en el eje perivalvar (paralela al eje de la cadena) uniéndo las células una apariencia afelpada (caballuda). Partes ahorquilladas ligeramente curvas y débilmente torcidas. Cerdas terminales diferentes, pequeñas, en forma de sombrilla, más fuertes que las cerdas interiores, y con arreglo en espiral, con diminutas espinas. Cromatóforos pequeños y numerosos. Con valvas altas arqueadas. Especie común. Cosmopolita de regiones templadas-húmedas a tropicales. Forma nerítica.

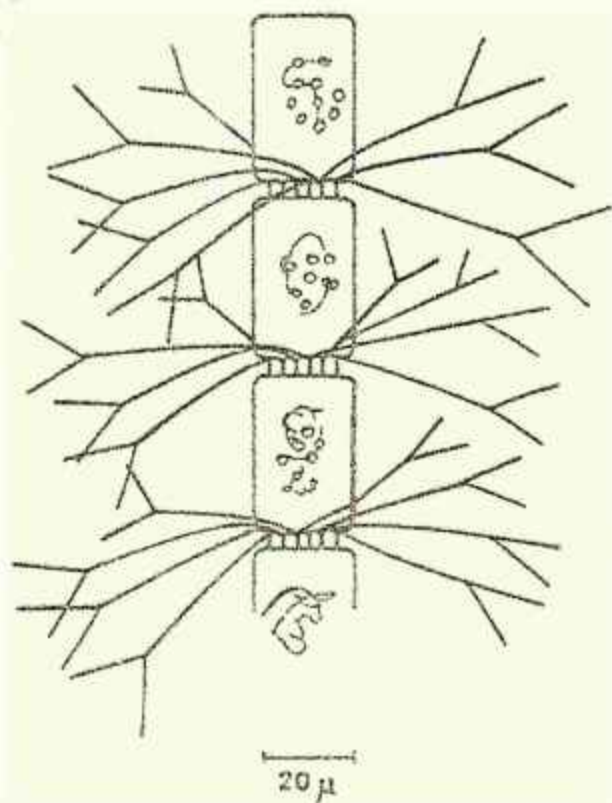


Fig. 6. *Bacteriastrum hyalinum*. Cadena en vista conectival.

Diámetro: 23 μ .

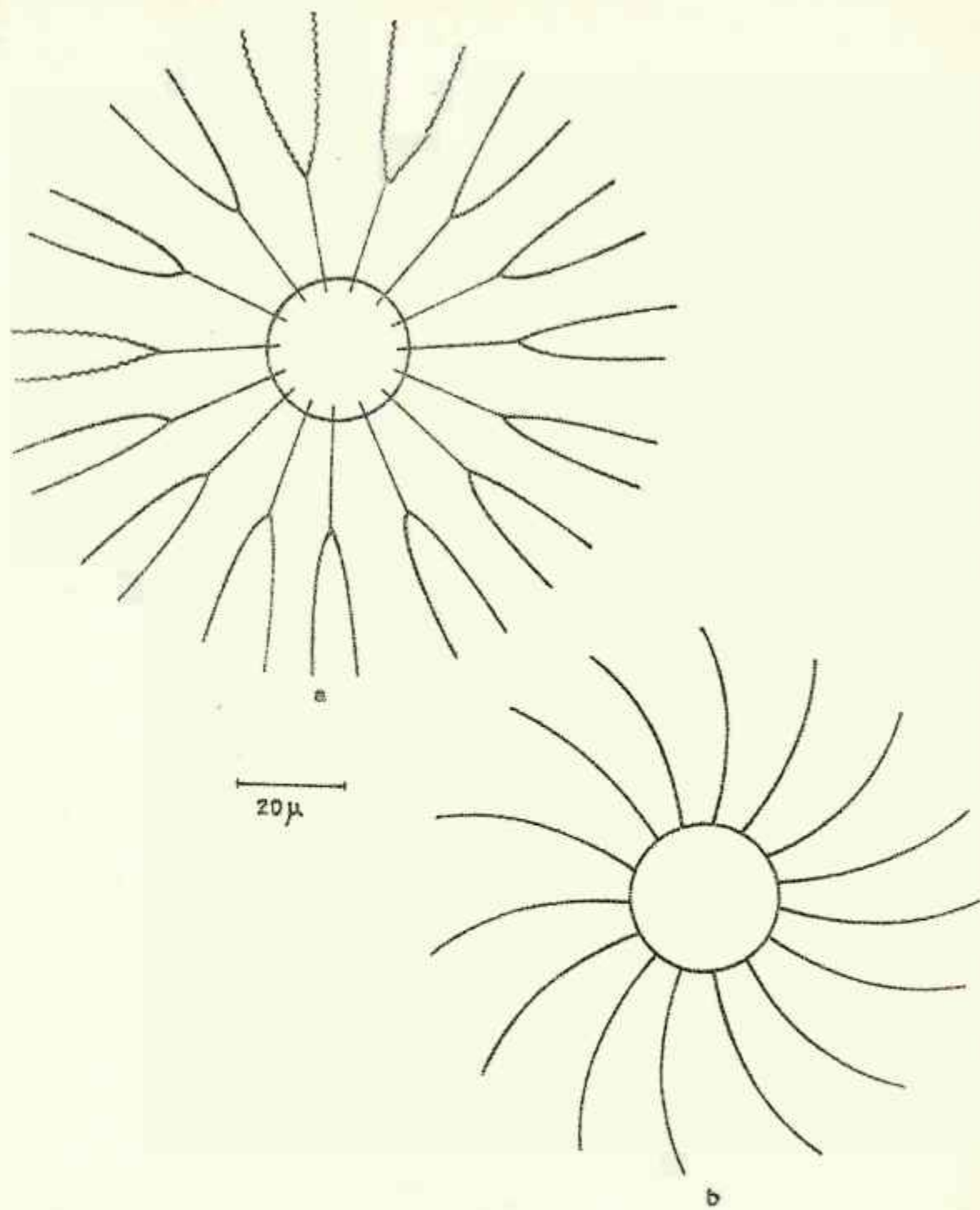


Fig. 7. *Bacteriostrum hvalinum*. a, Célula en vista valvar mostrando las cerdas interiores; diámetro: 28μ ; b, vista valvar de una célula terminal mostrando las cerdas terminales; diámetro : 31μ .

Biddulphia alternans (Bailey) van Houten.

Cupp, 1943, p. 166, fig. 115.

Fig. 8, p. 37.

Valvas triangulares, ocasionalmente cuadrangulares, con los lados cóncavos, rectos o un poco irregulares. Esquinas ligeramente elevadas, redondas, separadas de la parte central por costillas o cuerdas. Una ligera constrictión o ninguna entre la valva y la zona de la cintura. Costillas irregulares en ambas valvas y la cintura. Asociación fina en las esquinas. Extensión de la cara de la valva de 27-34 μ ; a lo largo del eje perivalvar de 32-39 μ . Muy raras en las muestras planctónicas. Cosmopolita de regiones templadas-heladas a tropicales. Típicamente nerítico y estuarino, algunas veces se encuentran pegadas a algas.

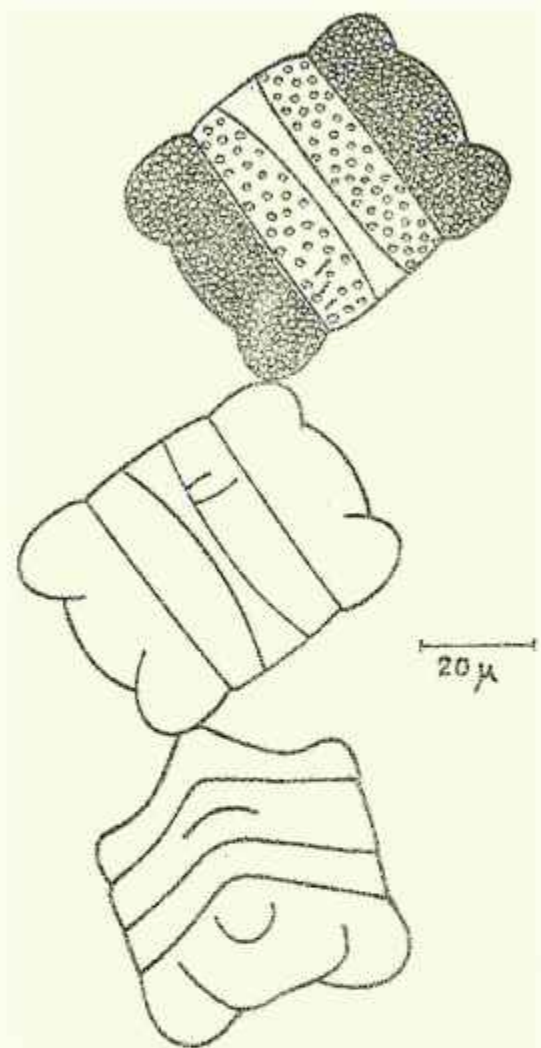


Fig. 8. Biddulphia alternans. Ciliostoma en vista conectival.

Diámetro : 43 μ ; largo : 57 μ .

Corathron criophilum Castracane (=*C. hyastrix*).

Cupp, 1943, p. 70, figs. 34-A, 34-B, 34-C.

Fig. 9, p. 39.

Células con manto cilíndrico y valvas hemisféricas, arqueadas. Diámetro 12-38u. Las células viejas varían de 13-24u. en diámetro. Círculo de cordas largas y delgadas en el borde de la valva. Bandas intercelulares en forma de collares, las cuales no son usualmente visibles en agua. Numerosos chromatóforos redondos o ligeramente planos y elongados. Oceánica. Cosmopolita, reportada en aguas del Ártico al antártico, cerca y lejos de la orilla.

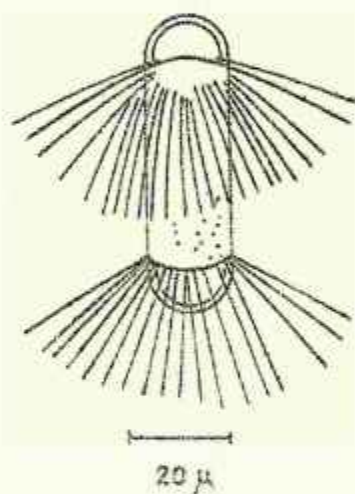


Fig. 9. Corethron criophilum (= C. hystrix). Célula en vista conectival; diámetro: 23 μ ; largo: 60 μ .

Coscinodiscus centralis Ehrenborg.

Cupp, 1943, p. 60, fig. 24.

Fig. 10, p. 41.

Valvas con lados arqueados o planos o ligeramente cóncave -- cerca del centro. Diámetro de 145-260u. Areola gruesa, visible en agua. Roseta en el centro de la valva. Espíñulas a lo largo del margen. Tres a cuatro filas de areolas entre las espíñulas. Espíñulas a menudo difíciles de ver en vista valvar. Líneas radiales de espíñulas indefinidas cerca del centro. Dos bandas interiores en cada valva, una más ancha que la otra. Cámaras interiores abiertas definidas. Margen de la valva radialmente estriado. Probablemente oceanica. Ampliamente distribuida en regiones heladas y templadas. Reportada también para aguas salobres.

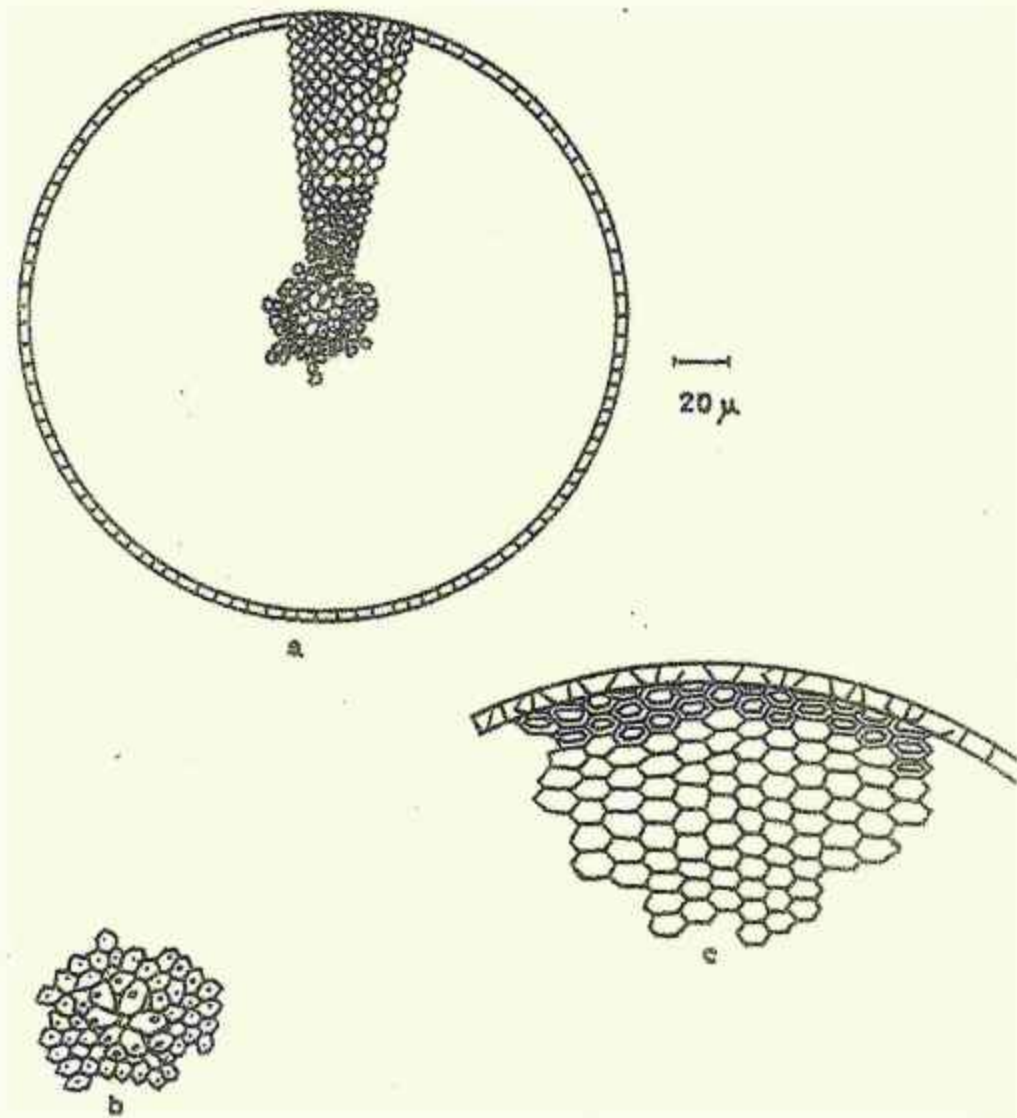


Fig. 10. Gomphonodiscus centralis. a, vista valvar; diámetro : 226 μ . b, rosetas central. c, sección de la valva cerca del margen, mostrando la areolación.

Coscinodiscus granii Cough.

Cupp, 1943, p. 56, fig. 21.

Fig. 11, p. 43.

Células con valvas arqueadas, un lado de la célula casi dos veces más alto que el otro. Diámetro de 95-190 μ . Areolación central en una roseta definida. Cámaras abiertas pequeñas. Se distinguen espinulas marginales y líneas radiales hialinas de las aspí-nulas hacia el centro. Dos pequeños procesos o apículos en el anillo con una distancia de cerca de 120° uno a otro. Cintura formada de dos bandas similares. No hay bandas intercalares. Especie cosmopolita de regiones templadas-hieladas a tropicales. Principialmente una especie marítima.

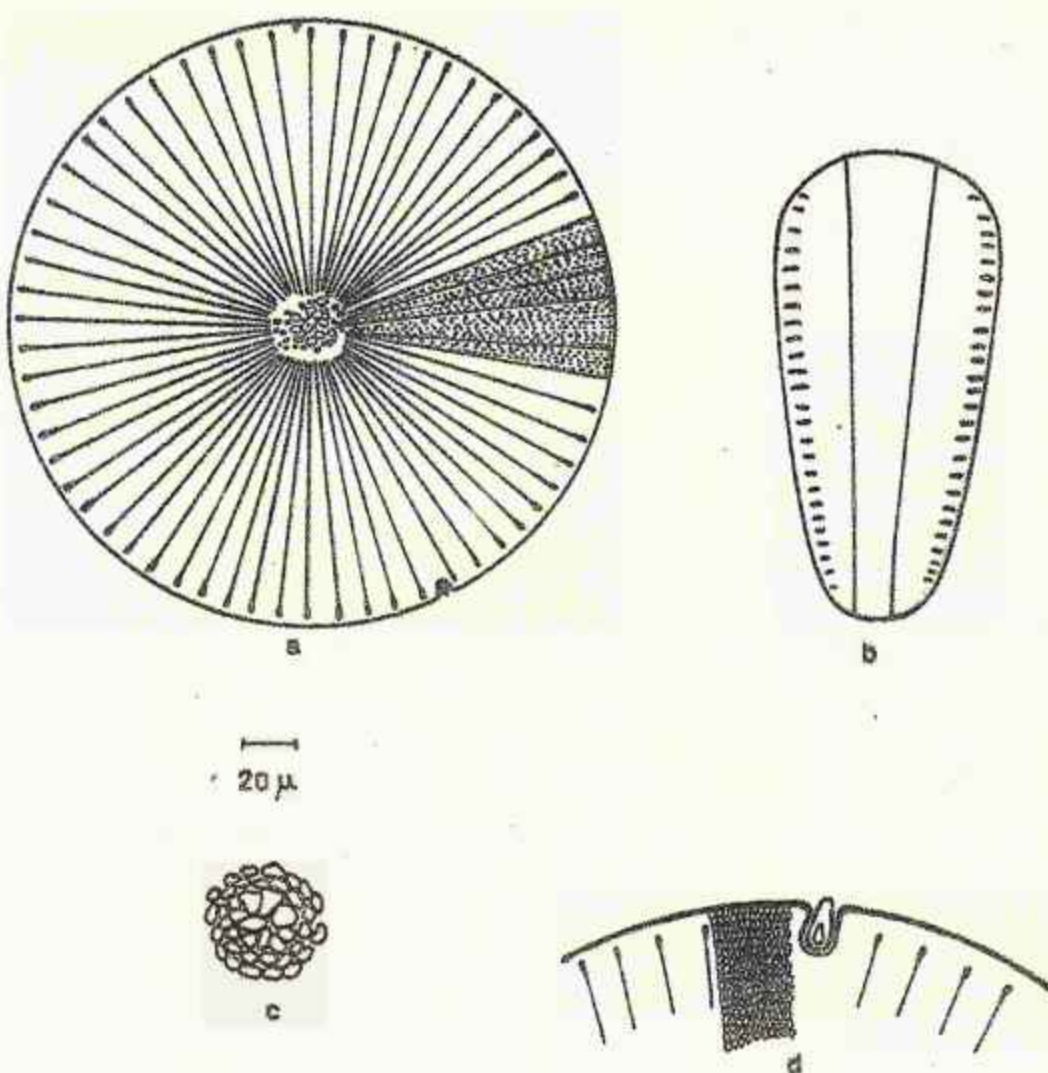


Fig. 11. *Coccinodiscus granii*. a, vista valvar mostrando las espínulas marginales y las líneas radiales; diámetro: 229μ . b, vista conectival. c, roseta central. d, sección del margen mostrando las espínulas marginales y el proceso.

Coscinodiscus lineatus Ehrenberg.

Cupp, 1943, p. 53, fig. 15.

Fig. 12, p. 45.

Células en forma de disco, valvas casi planas. Areolas hexagonales en líneas rectas. Diámetro de las valvas de 35-60 μ . Las areolas son ligeramente más pequeñas cerca del margen. Aberturas circulares de areolas o "cámaras abortadas" usualmente bien definidas. Margen de la valva radialmente estriado. Espinules marginales presentes y generalmente fuertes. Principalmente oceánica, pero frecuentemente nerítica. Encontrada en todos los océanos.

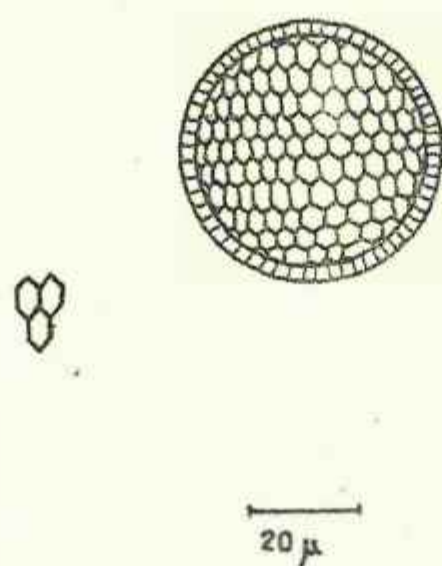


Fig. 12. Coccinodiscus lineatus. Célula en vista valvar mostrando la areolación; diámetro : 47 μ .

Cescinodiscus wailesii Gran and Angst.

Cupp, 1943, p. 58, fig. 23.

Fig. 13, p. 47.

Células cilíndricas en vista connectival, con terminaciones cónicas, largas, de 230-350 μ de diámetro. Centro de la valva hialino con el contorno irregular y areolas libres. Areolas ligeramente incrementando en tamaño del área central hacia afuera. Espinas marginales no visibles en vista valvar. Se distinguen líneas radiadas, interiores, hialinas. Areolas del mismo tamaño en ambos lados de las espinulas. Dos bandas intercalares en cada valva, la primera más ancha que la segunda. Poco común, pero ampliamente distribuida en regiones heladas y templadas-cálidas.

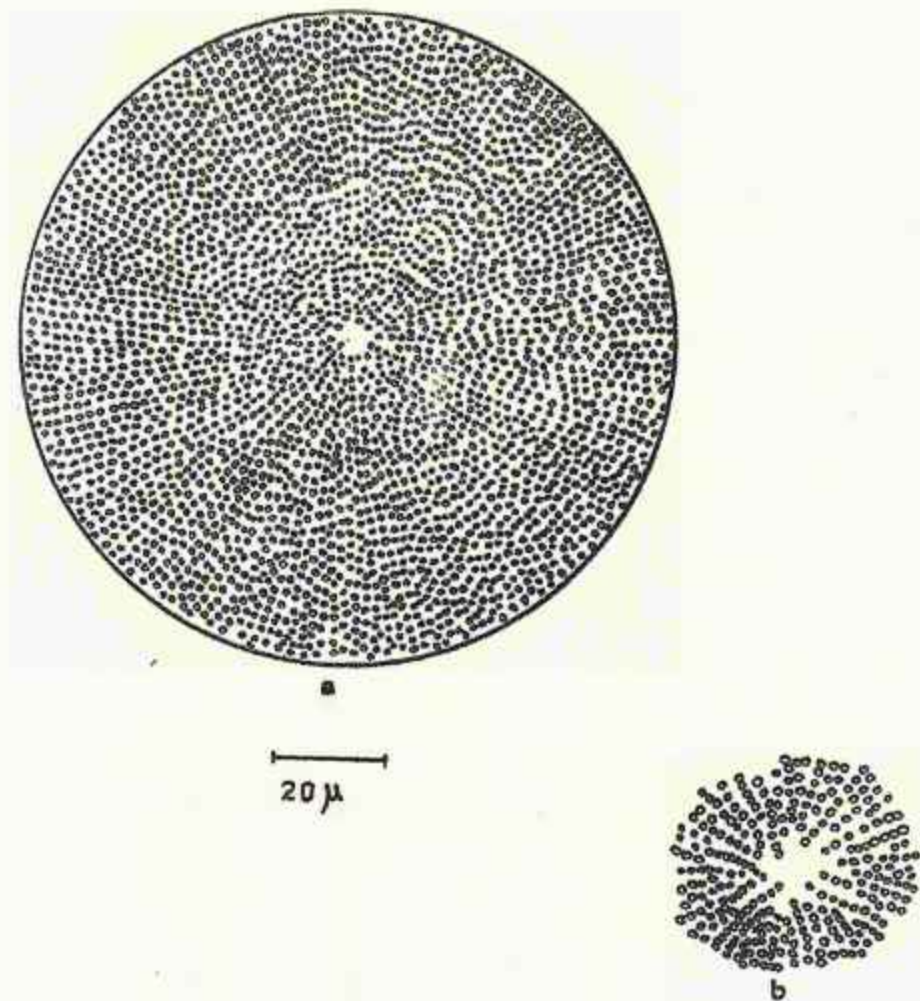


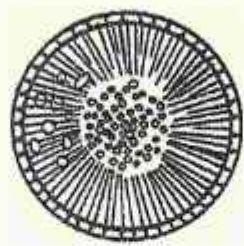
Fig. 13. *Coscinodiscus wailesii*. a, célula en vista valvar;
diámetro: 114 μ . b, centro de la valva.

Cyclotella stylorum Brightwell.

Moreira Filho, 1966, p. 38, fig. 20.

Fig. 14, p. 49.

Células solitarias, cilíndricas, discoideas, en vista conectorial rectangular, valvas con área central finamente punteada. - Margenes bien definidos y anchos, estrías numerosas y finamente radiales. Diámetro de 30-38 μ . Especie marina ampliamente distribuida en las regiones tropicales y subtropicales. Planctónica, nerítica y de aguas salobres.



10 μ

Fig. 14. Cyclotella stylorum. Célula en vista valvar; diámetro: 21 μ .

Chaetoceros sp.

Cupp, 1943, p. 100.

Figs. 15, 16, 17, 18, pp. 52, 53, 54, 55.

Células con una sección oval o casi circular; en vista cono-
 tival anchas con lados rectos y cóncavos, con terminaciones lige-
 ramente convexas. Valva con superficie terminal más o menos clara
 (superficie valvar) y una parte cilíndrica o manto valvar, el cual
 está ligado sin una costura. Una corde larga, gruesa o delgada en
 las esquinas de cada terminación de la valva. Las cordas opuestas
 de las células vecinas se tocan una a otra cerca de su origen, gene-
 ralmente en forma directa o algunas veces por un puente, y se --
 fusionan firmemente en un punto cerca de su base, sujetando las --
 células en cadenas, con largas o pequeñas aberturas entre las cé-
 lulas. Porción basal de la corde paralela al eje perivalvar o diri-
 gida diagonalmente hacia afuera con la porción exterior frecuento-
 mente perpendicular al eje de la cadena. En la mayor parte de las
 especies el largo de la cadena está limitado por la formación de -
 células terminales especiales: corde terminal, usualmente corta y
 gruesa y más paralela al eje de la cadena que las otras. En pocas
 especies las células son solitarias.

Pared celular formada de dos valvas y una o dos bandas en la -
 cintura. Frecuentemente dos bandas desiguales presentes en la mayo-
 ría de las especies. Bandas intercalares presentes en algunas espes-

cies, generalmente difíciles de ver sin una preparación especial.

Citoplasma (protoplasto) formando una delgada capa a lo largo de la pared celular o llenando gran parte de la célula. Núcleo cerca de la pared celular o central. Los cromatóforos varían grande-
mente en número, tamaño, forma y posición en las diferentes especies; pueden ser de uno a varios, pequeños o largos, pero son conser-
tantes para especies conocidas y consecuentemente indispensables --
para la demarcación de las especies. En muchas especies los piru-
noideos son nítidamente visibles. Locomoción observada en algunas
especies. Gran variación puede ser observada en cadenas de los
mismas especies de diferentes localidades y en diferentes épocas
del año.

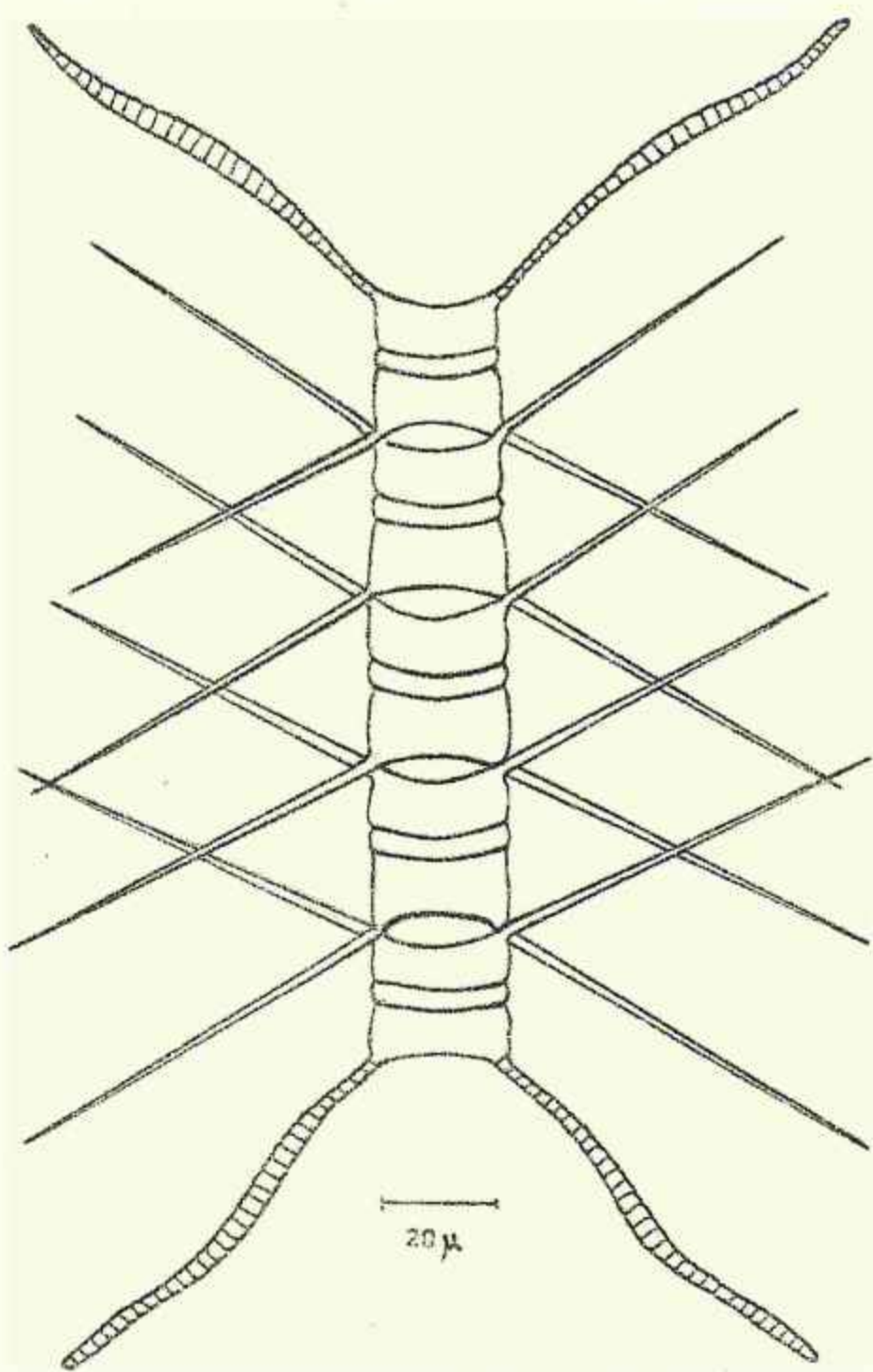


Fig. 15. Chaetoceros sp. 1. Cadena completa en vista conexional. Ancho de las células: 23 μ .

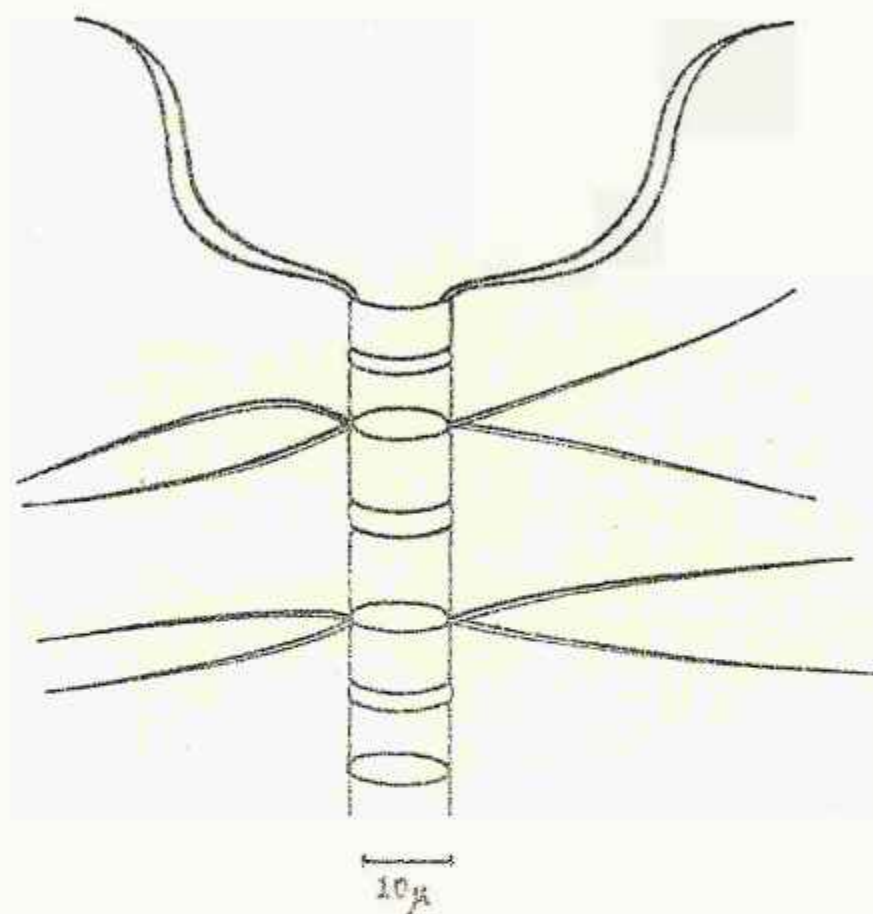


Fig. 16. Chaetoceros sp. Cadena en vista conectival con cerdas terminales; ancho = 12 μ .

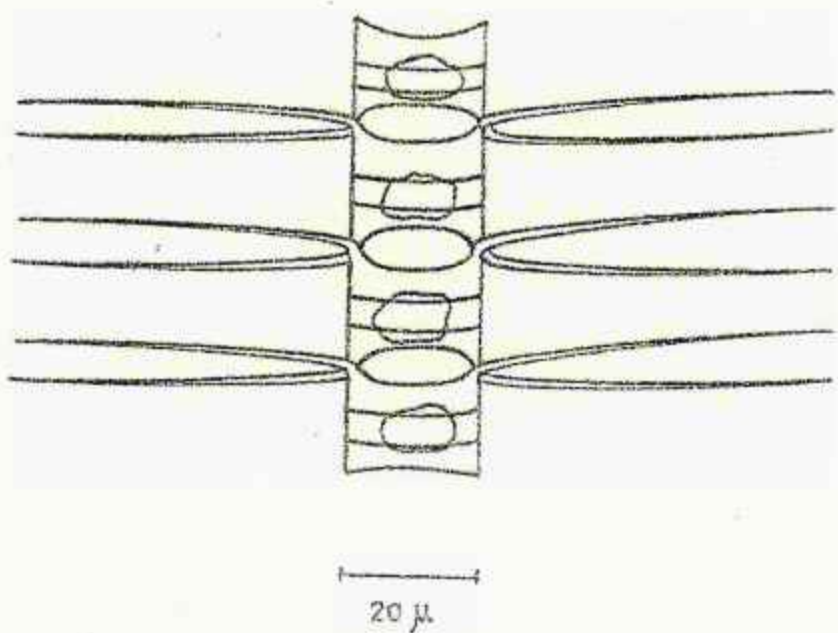


Fig. 17. Chaetoceros sp. 3. Cadena en vista conectival; ancho: 18 μ .

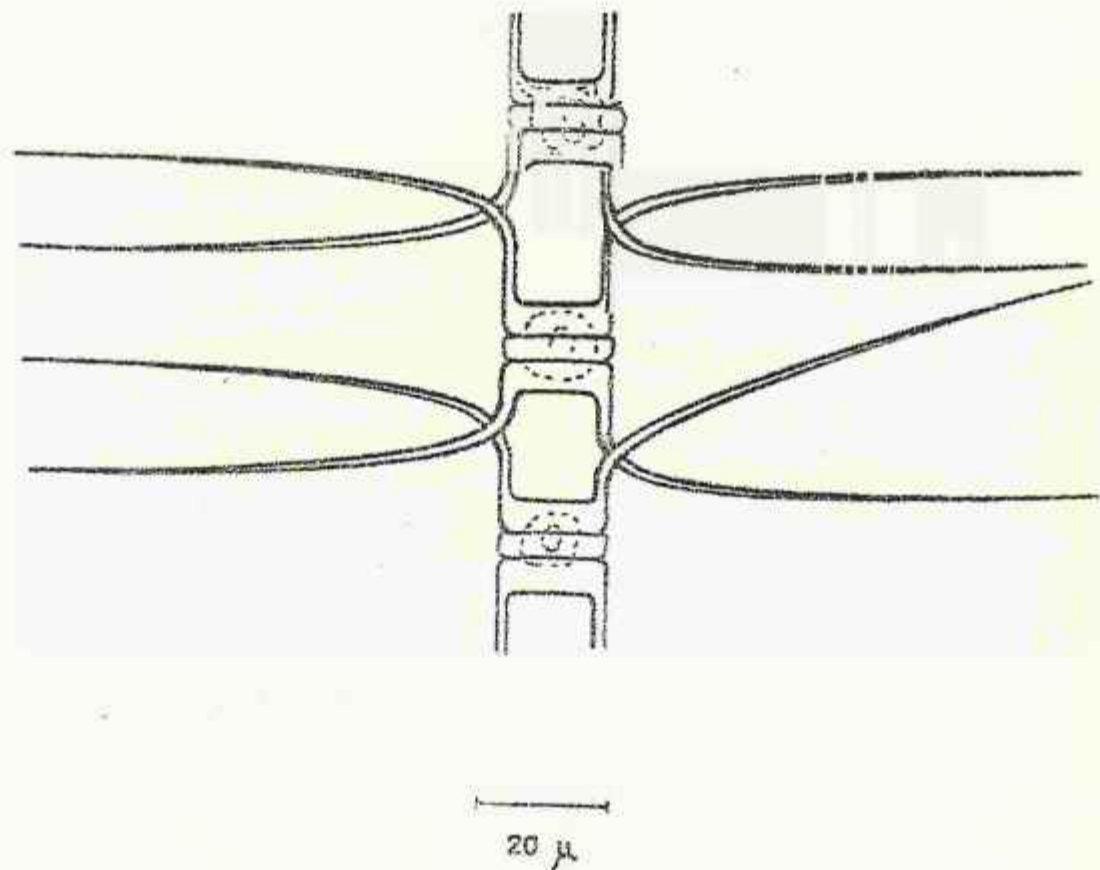


Fig. 18. Chaetoceros sp. 4. Cadena en vista conectival;
ancho: 17 μ .

Chaetoceros curvisetus Cleve.

Cupp, 1943, p. 137, fig. 93.

Fig. 19, p. 57.

Cadenas espiralmente curvadas, sin células terminales diferenciables, de 7-30u. de ancho. Células de cuatro esquinas, anochas en vista connectival, células adyacentes conectadas por esquinas conspicuas. Manto velvar usualmente bajo. Aberturas rombicas, ovales o circulares. Las cerdas aparecen en las esquinas de las células, todas dobladas hacia fuera del eje curvado de la espiral. Un chromatóforo por célula. En el margeón de la velva prima una fila de delicada puntuación. Especie cosmopolita de regiones templadas-holadas a tropicales. Principalmente una especie nerítica, pero encontrada en agua salobre.

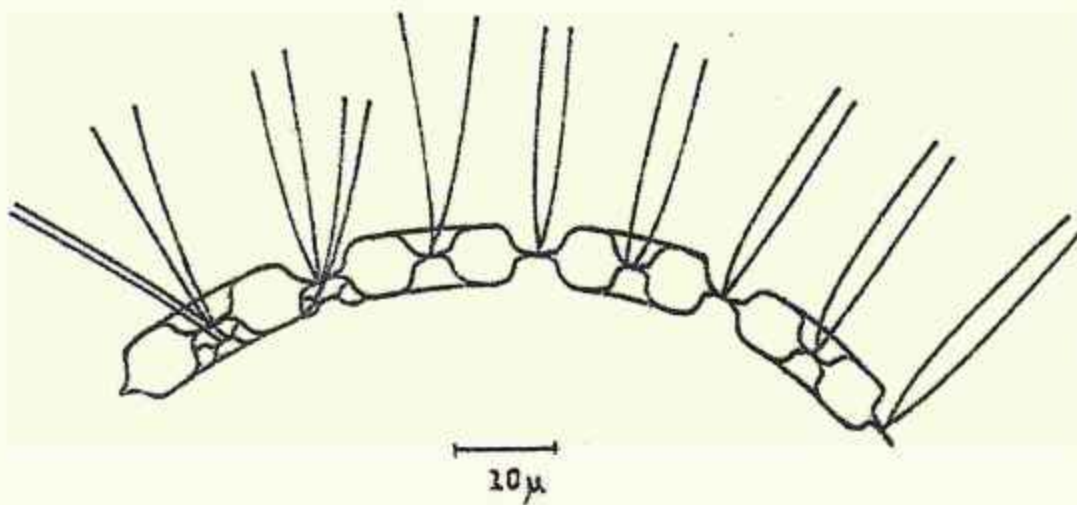


Fig. 19. Chastoceros curvisetus. Cadena típica en vista
connectival; ancho: 6 μ .

Chastoceros laevis Leuduger-Fortmoresl.

Cupp, 1943, p. 133, fig. 88.

Fig. 20, p. 59.

Cadenas rectas, usualmente cortas, de 3-4 células. Células anchas y oblongas en vista conectival, de 5-12 μ de ancho. Células adyacentes tocando la otra en las esquinas o tambien por la parte media. Aberturas muy angostas, que parecen no verse con magnificaciones bajas. Un cramatóforo, unido a la cintura. Manto de la valva alto. Varias cordas, terminalas y algunas interiores son delgadas, como cabellos; algunas de la parte interior son gruesas. Cada cuerda gruesa se fusiona por una corta distancia más allá de la base, luego ambas cuerdas gruesas tienen la misma curvatura. Al principio están casi perpendicular al eje de la cadena, virando repentinamente un ángulo recto, corriendo paralelas al eje de la cadena y luego convergiendo ligeramente hacia la cadena. Las cuerdas interiores pequeñas salen de las células en casi ángulos rectos al eje de la cadena y divergen más o menos hacia el final; pueden seguir el mismo curso que las cuerdas gruesas. Pequeñas espiras presentes en la cuerda gruesa. Especie tropical rara. Nativitico.

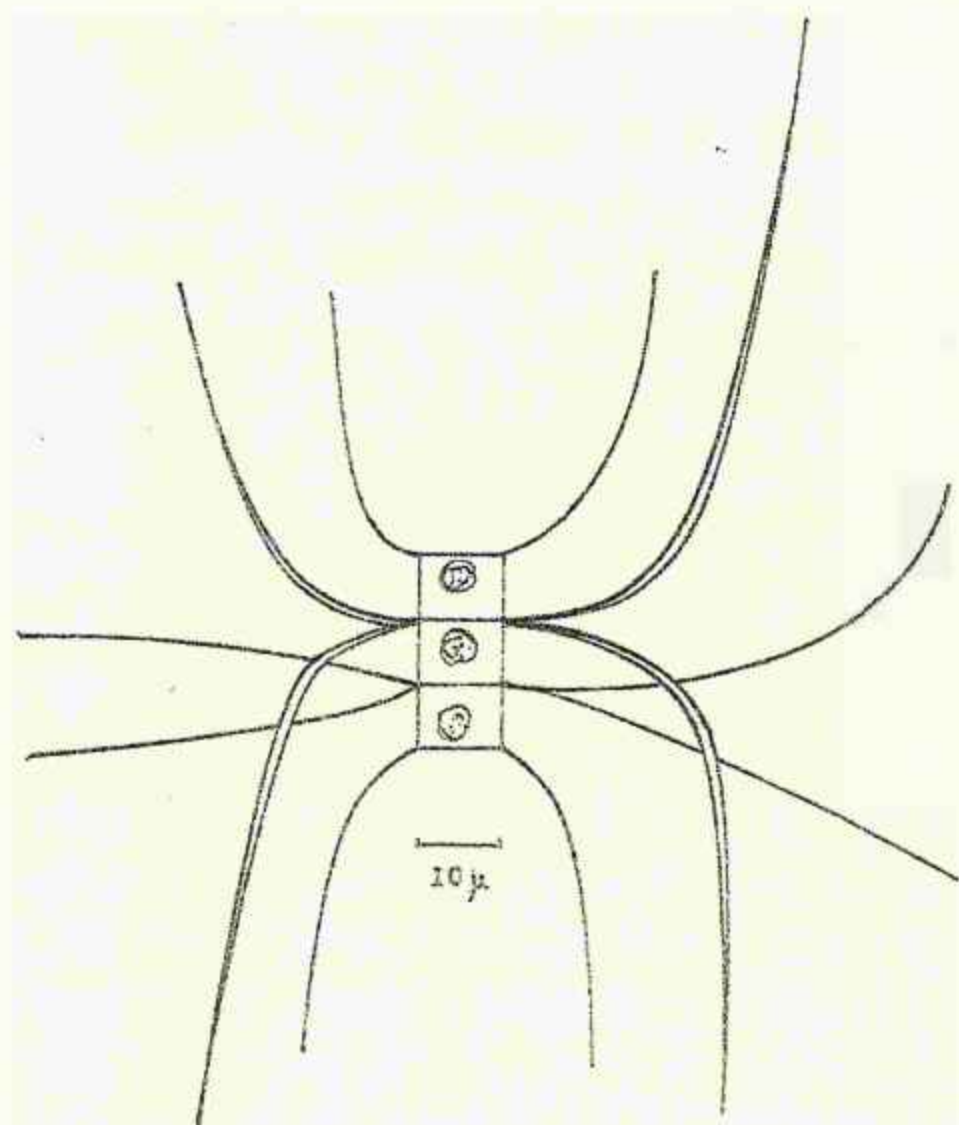


Fig. 20. *Chaetoceros laevis*. Cadena típica, vista conectival;
ancho: 11 μ .

Chaetoceros peruvianus Brightwell.

Cupp, 1943, p. 113, fig. 68.

Fig. 21, p. 61.

Células usualmente solitarias, rara vez constituyendo cadenas cortas, de 15-32u. de ancho. Valvas elípticas. Valvas no semejantes, la superior redondeada, la de abajo plana, ambas con manto - valvar igualmente construido. Banda connectival con cavidad que varía de tamaño, pero siempre muy distinguible. Las cerdas de la -- valva superior aparecen cerca del centro. Las cerdas de la valva inferior aparecen cerca del margen, ligeramente convexas hacia afuera, casi paralelas alejadas de la cadena más que las de la valva superior. Todas las cerdas son fuertes, de 3-5u de espesor, de cuatro lados (cara), con espinas fuertes; estríadas. Especie cosmopolita en mares templados-calientes y tropicales; ocasionalmente encontrada en regiones heladas-templadas. Principalmente una especie oceánica y nerítica, pero encontrada en estuarios.

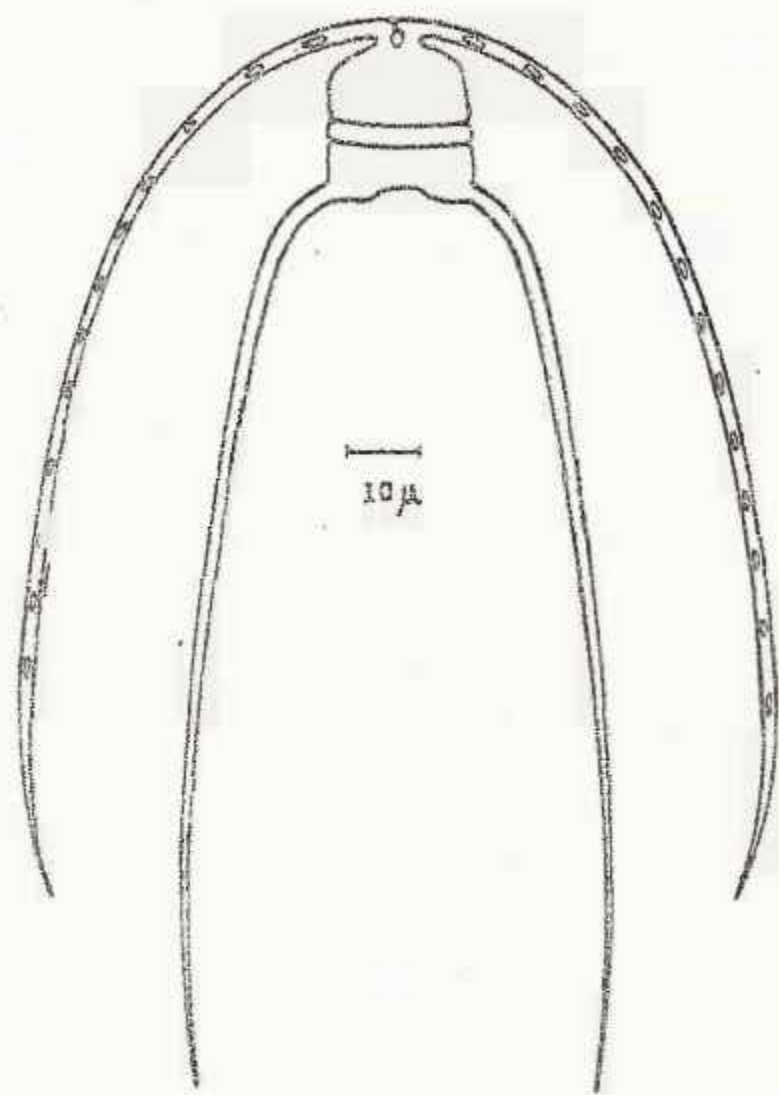


Fig. 21. Chaetoceros peruvianus. Célula sencilla; ancho: 17 μ .

Diglonensis sp.

Ferrario, 1975, p. 240.

Fig. 22, p. 63.

Vista valvar elíptica hasta largamente elíptica, a veces con la parte central más o menos constricta; extremos obtuso-redondados. Superficie valvar ornamentada por estrías finas o gruesas o por costillas transapicales, más o menos radiales, las que muchas veces se ven cruzadas por otras longitudinalmente, que cuando se encuentran en gran número dan el aspecto reticulado a la superficie. En el centro se observa un prominente nódulo central, el que se prolonga hacia los extremos en forma de dos largos brazos, los que circundan al resto central, dejando hacia sus bordes externos surcos más o menos estrechos y muchas veces espacios ornamentados. Género común, de agua dulce y marino.

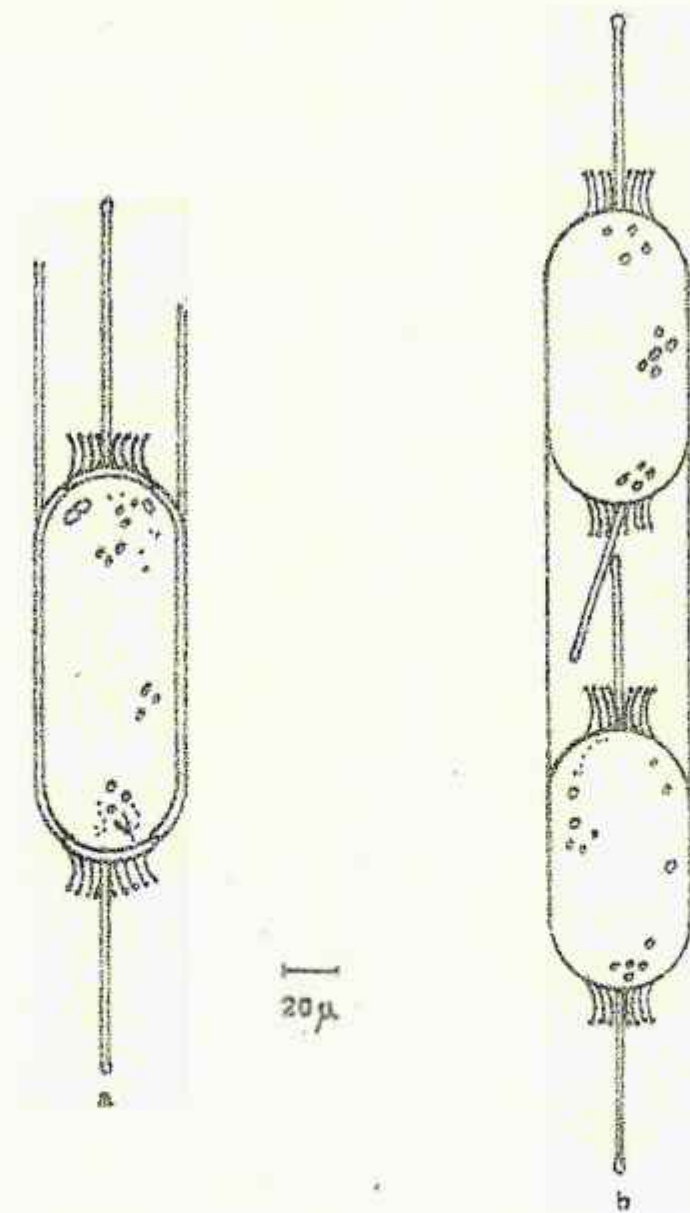


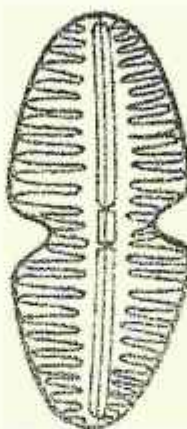
Fig. 23. *Ditylum brightwellii*. a, célula típica; diámetro : 57 μ . b, célula en división.

Ditylum brightwellii (West) Grunow.

Cupp, 1943, p. 148, figs. 107-A, 107-B.

Fig. 23, p. 65.

Células en forma de prisma, con fuertes ángulos redondos a - casi cilíndricos, usualmente de tres a cinco veces más larga que - ancha. Diámetro de 14-85u. Valvas triangulares a circulares con una espina central hueca. Borda de la valva reforzado por pequeñas costillas paralelas. Zona de la cintura muy larga, no fácilmente distinguible en las valvas. Bandas intercalares como escamas, visibles con tratamiento especial. Pared celular débilmente silicificada, valvas arelladas-punteadas. Cromatóforos pequeños, numerosos. Núcleo central. Valva primaria con un manto valvar largo y una espina fuerte, valva secundaria sin un manto. Especie -- nunca en grandes números. Cosmopolita de regiones templadas-heladas a tropicales. Principalmente una especie marítima, aunque registrada en áreas estuarinas.



20

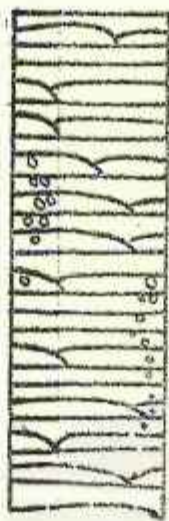
Fig. 22. Diplonema sp. Célula en vista valvar; largo: 83 μ .

Guinardia flaccida (Castracane) Póragallo.

Cupp, 1943, p. 78, fig. 40.

Fig. 24, p. 67.

Células típicamente cilíndricas, de uno y medio a varios veces más larga que ancha, sencilla o unida en cadenas por todo la superficie valvar. Valva casi plana, muy ligeramente cóncava, con un diente irregular en el margen. Diámetro de 30-53 μ . Perio cuticular débilmente silicificado, se cue cuando se seca, sin oscultura visible. Núcleo más o menos central. Especie común, comuna polita de regiones templadas-heladas a tropicales. Principalmente una especie nerítica y ostuarina, también reportado en aguas abiertas.



[
20 μ

Fig. 24. Guinardia flescida. Célula con bandas intercalares;
diámetro: 51 μ .

Hemisulus sinensis Graville.

Cupp, 1943, p. 168, fig. 119.

Fig. 25, p. 69.

Células anchas y elípticas en vista valvar. Cadanas rectas o curvas, más o menos largas. Eje porvalvar más o menos alargado. Eje apical 15-36 μ de largo. Valvas con superficie ligeramente convexa, de contorno elíptico. Manto valvar alto, sin surcos en la base. Procesos delgados, pero fuertes, sobre las valvas, con una garra fuerte en los extremos. Pared celular fuertemente silicificada, con areolas y puntuaciones. Areolas radiales en la superficie del manto valvar. Especie cosmopolita en regiones templadas-calientes y tropicales. Principalmente una especie marítima, pero reportada para estuarios.

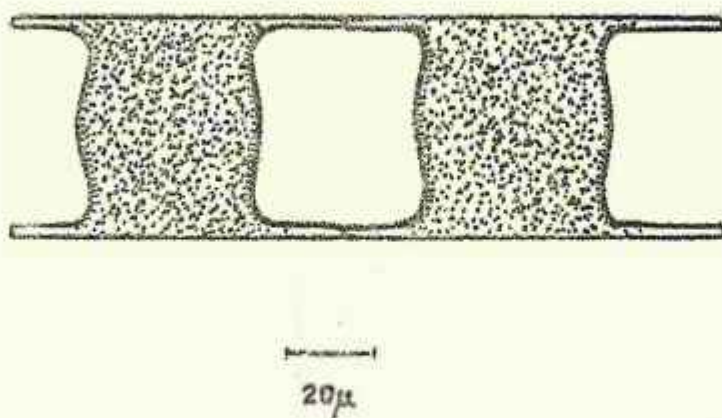


Fig. 25. Hemisaulus sinensis. Células en vista conectival;
ancho: 46 μ .

Lauderia annulata Cleve (=L. borealis).

Cupp, 1943, p. 74, fig. 35.

Fig. 26, p. 71.

Células en cadenas gruesas y rectas, adheridas por su superficie valvar. Valvas ligeramente cóncavas en el centro, redondeadas en los márgenes. Espículas marginales rectas con radicción recta y gelatinosa, hilos largos o cortos, los largos alcanzando la célula adyacente. Una espina sencilla gruesa y más robusta que las otras, se encuentran cerca del margen de la valva. Diámetro de la célula de 28-47u. Bandas intercalares en toda la pared celular. Superficie del manto delicadamente areolada-puntada. Cromatóforos pequeños, lobulados, agrupados en el final de la célula en luz fuerte. Especie cosmopolita en regiones heladas y templadas-cálidas. Una especie marítica y estuarina.



Fig. 26. Lauderia annulata. (= L. borealis). Células con bandas intercelulares; diámetro: 34 μ .

Leptocylindrus danicus Cleve.

Cupp, 1943, p. 78, fig. 39.

Fig. 27, p. 73.

Células cilíndricas, de 7-10 μ en diámetro, de 2-10 veces más larga que ancha. Unida en cadenas rectas, corrudas y largas. Valvas planas o convexas, ocasionalmente cóncavas, sin escultura visible. Células adyacentes a menudo con una sola porea celular entre las dos valvas. Bandas intercalares presentes, pero muy difíciles de ver. Cromatóforos de pocos a numerosos, no muy pequeños, distribuidos por toda la célula. Una especie común, cosmopolita de regiones templadas-heladas a tropicales. Principalmente una vegetación marítima y estuarina.

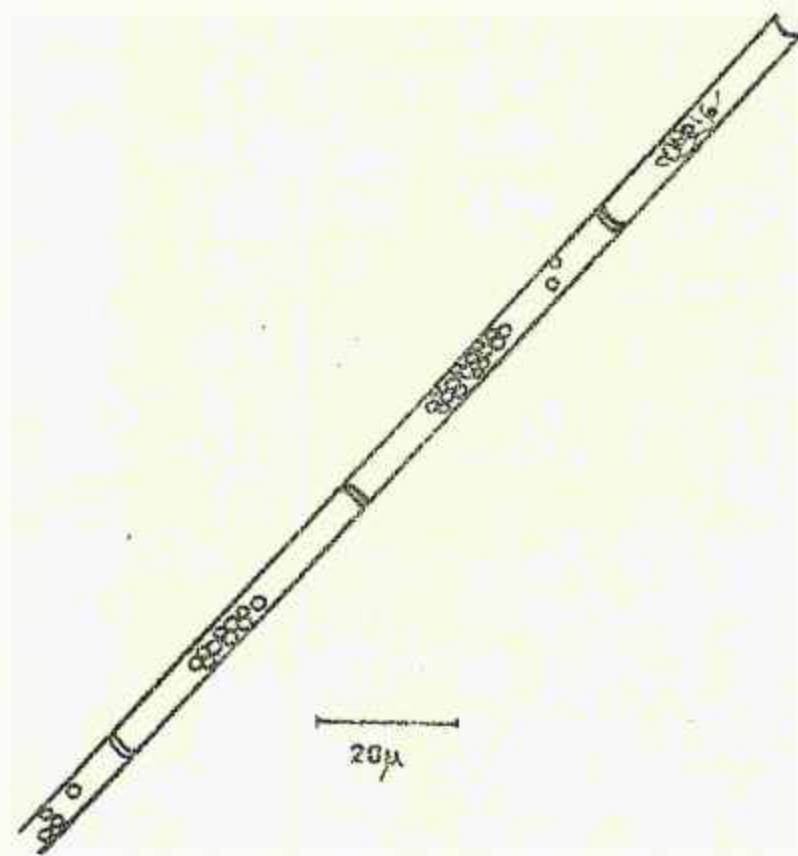


Fig. 27. Leptocylindrus canicus. Cadena; largo de las células: 49 μ ; diámetro: 9 μ .

Lithodesmium undulatum Ehrenberg.

Cupp, 1943, p. 150, fig. 108.

Fig. 28, p. 75.

Células unidas en cadenas rectas, de 35-68 μ de ancho. Valvas triangulares (tres esquinas) con margen ondulado. Manto valvas alto, superficie valvar bastante plana. Espina larga, delgada y hueca en el centro de la valva. Pared celular débilmente silicificada, arcoleación-puntuación en las valvas, bandas intercalares en la cintura. Área central hisilina en la valva. Membrana conectiva usualmente con arcos gruesos. Especie de temperaturas del sur, poco común en regiones tropicales. Norítico.

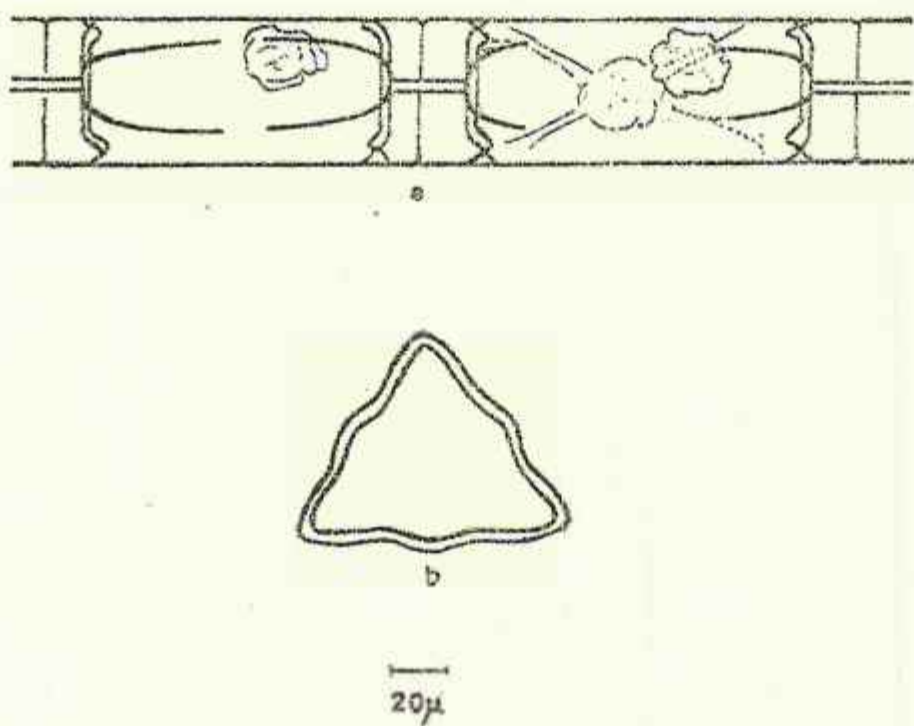


Fig. 28. Lithodesmium undulatum. a, cadena en vista conectival; ancho: 46 μ . b, célula en vista valvar.

Navicula distans (W. Smith) Ralfs.

Cupp, 1943, p. 193, fig. 143.

Fig. 29, p. 77.

Células libres. Rectangular en vista conectival, ligeramente comprimido en la parte media; lanceolada en vista valvar. Larga de los valves 70-120 μ ; ancho de 14-18 μ . Estriación gruesa (costillas), radiada. Área central clara y definida. Dos chromatóforos, uno en cada lado de la cintura. Litoral, pero se encuentra ocasionalmente en el plancton.

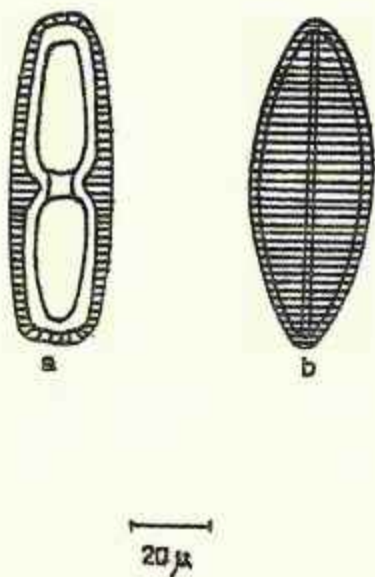


Fig. 29. Navicula distans. a, célula en vista conectival; largo: 83 μ ; ancho: 20 μ . b, vista valvar.

Nitzschia sp.

Cupp, 1943, p. 199.

Figs. 30, 31, pp. 79, 80.

Células en forma de huso, sencillas o unidas en celenias. --
Valvas quilladas, la quilla incluye un rafe oculto, diagonalmente
opuesto, central o excéntrico. Estrías transversales, puntuadas.
Sin nódulo central. Cromatóforas en dos bandas dispuestas trans-
versalmente.

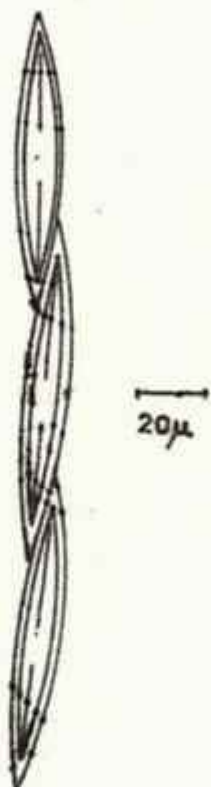


Fig. 30. Nitzschia sp. 1i Cadena en vista conectival; largo :
80 μ ; ancho \pm 6 μ .

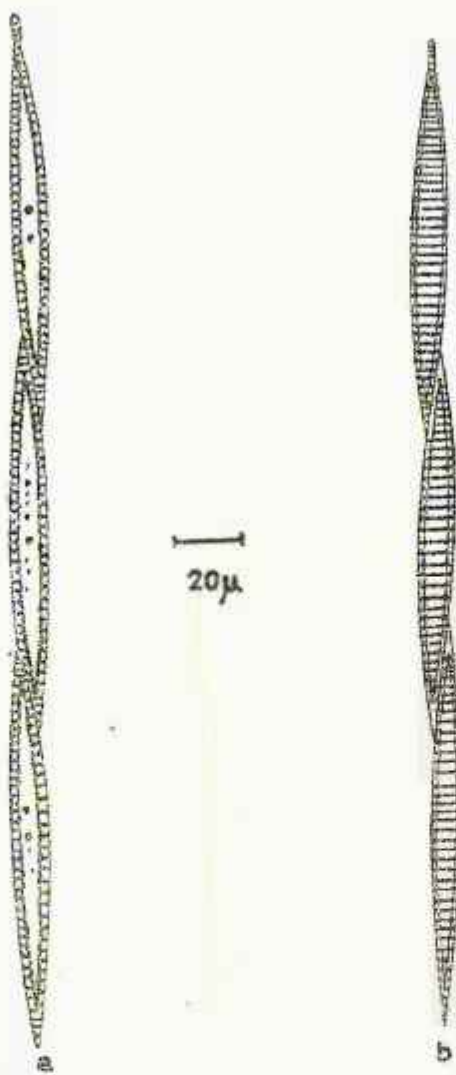


Fig. 31. Nitzschia sp. 2. a, cadena en vista conectival;
largo: 114μ ; ancho: 6μ . b, vista valvar.

Nitzschia closterium (Ehrenberg) W. Smith.

Cupp, 1943, p. 200, fig. 153.

Fig. 32, p. 82.

Células sencillas, móviles. Terminaciones como cebollas, flexibles. Contro lanceolado. Núcleo central. Dos chromatóforos centrales. Células ligeramente encorvadas. Largo de las valvas 25-100 μ. Muy común, especie cosmopolita de regiones templadas-holadas a tropicales. Una especie marítima y estuarina, frecuentemente en el plancton.

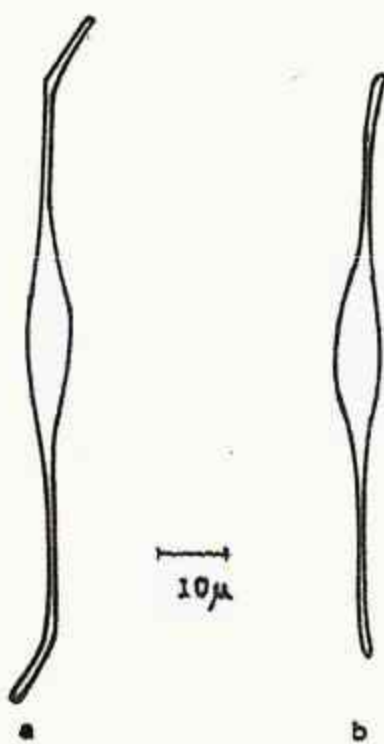


Fig. 32. Nitzschia closterium. a, célula de 100μ de largo
y 6μ de ancho. b, célula de 94μ de largo y 6μ de
ancho.

Odonella surita Simonson (= Bidulphia surita).

Cupp, 1943, p. 161, figs. 112-A (1), 112-A (2), 112-A (3).

Fig. 33, p. 84.

Células unidas en cadenas rectas o en zig-zag. Valvas elípticas-lanceoladas, con procesos obtusos inflados en la base. Parte central de la valva convexo, más o menos aplanaada en la parte, del cual usualmente se proyectan largas espinas. Espinas algunas veces ausentes o variadas. Zona de la cintura pronunciada, diferenciada de la zona valvar por una clara depresión. Parte celular fuertemente silicificada, con areolación-puntuación. Una espaciar muy variable. Largo del eje apical 12-97u. Con un número de pequeñas espinas sobre las valvas en especímenes de aguas cálidas. Especie ampliamente distribuida, pero más abundante en los mares del norte -- (ártico y boreal). Nerítico y litoral.

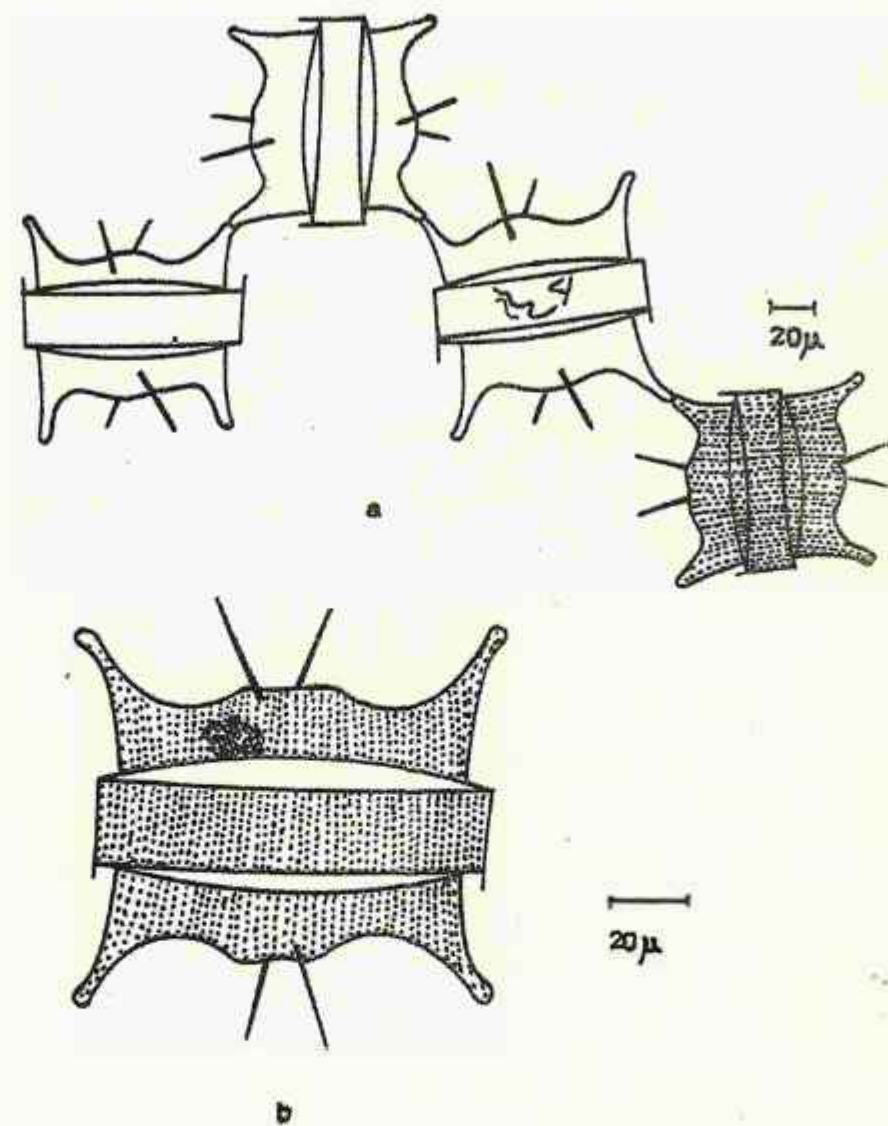


Fig. 33. Odontella aurita. (=Biddulphia aurita). a, cadena; ancho de las células: 100 μ . b, célula típica en - vista conectival mostrando su escultura.

Odontella mobiliensis Grunow (= Biddulphia mobiliensis).

Cupp, 1943, p. 153, fig. 110.

Fig. 34, p. 86.

Células individuales o raramente unidas por espinas largas - formando cadenas cortas y ructas. Largo del eje apical es de 45-157 μ . Valvas elípticas-lanceoladas, convexas, con una parte central plena o casi plana. Proceso valvar delgado, que aparece en el margen de la valva, dirigido diagonalmente hacia afuera. Dos espinas largas o iguales que aparecen lejos de los procesos, dirigidas oblicuamente hacia afuera. Espinas rectas o muchas veces tortuosas bruscamente. Células relativamente de pared delgada, sin una constricción aguda entre la valva y la zona de la cintura. Escultura fina, reticulada. Especie verdaderamente planctónica. Cosmopolita de regiones templadas-heladas a tropicales. Especie nerítica y estuarina.

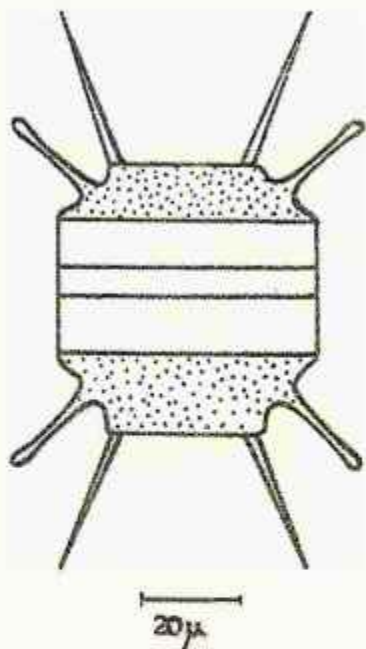


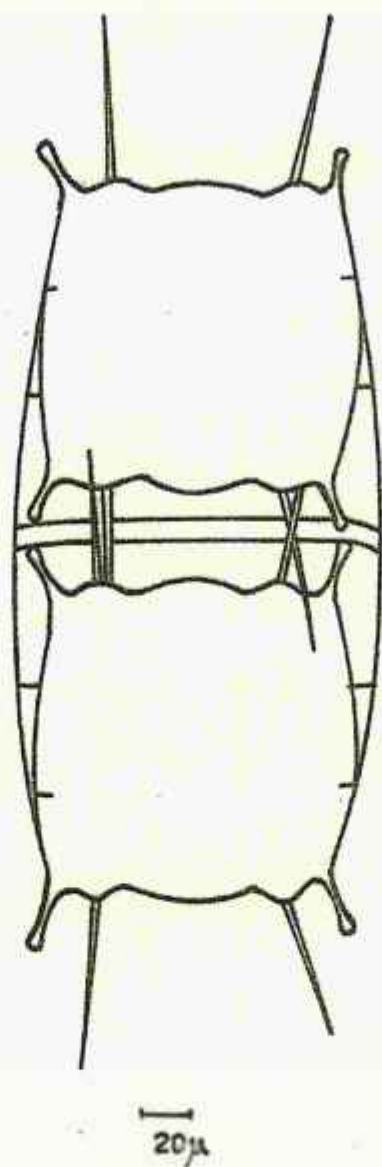
Fig. 34. Odontella mobiliensis. (=Biddulphia mobiliensis).
Célula típica en vista conectival; ancho: 49 μ .

Odontella regia Schultze (=Biddulphia regia).

Jiménez, 1976, p. 32, lám. 12, fig. 1.

Fig. 35, p. 88.

Células solitarias o unidas por sus espinas formando cordones. Frústulos rectangulares en vista conoventival, con procesos cortos en los ángulos. Valvas elípticas con el área central casi plana o ligeramente cóncava. Superficie de la valva con puntuaciones y dos espinas que se originan cerca de la base de los procesos, éstos son pequeños y redondeados. Frústulo débilmente silicificado. Numerosos chromatóforos. Eje apical: 100-200μ. Especie realmente planctónica ampliamente distribuida en regiones heladas y templadas-calientes. Nerítica y estuarina.



—
20 μ

Fig. 35. Odontella regia (= Biddulphia regia). Cadena en vista conectival; ancho de las células: 129 μ .

Odontella sinensis Grunow (=Biddulphia sinensis).

Jiménez, 1976, p. 32, lám. 12, fig. 17.

Fig. 36, p. 90.

Células solitarias o unidas por sus espinas formando colonias, un vista consecutiva es de 2-3 veces más larga que ancha. Pared celular débilmente silicificada. Valvas cóncavas con procesos cortos y dos espinas que se originan cerca de la base de los procesos. Numerosas chromatóforos, pequeños, que se localizan en toda la célula. Eje apical 120-260 μ , eje transapical 60-80 μ . Especie realmente -- planctónica ampliamente distribuida de regiones templadas-holárticas a tropicales. Principalmente descrita como una especie oceánica, pero reportada en áreas estuarinas.

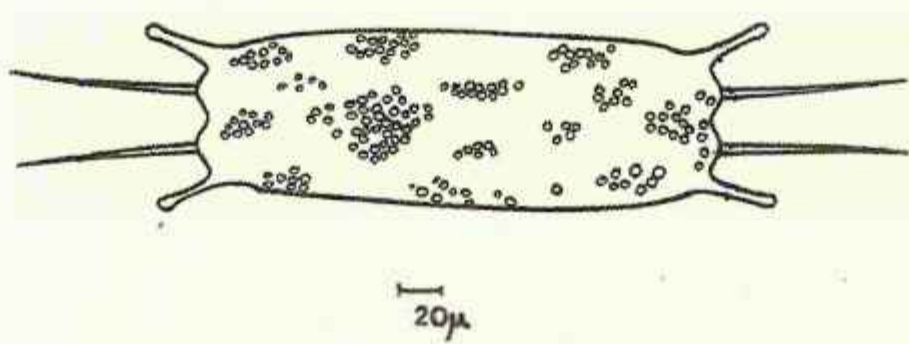


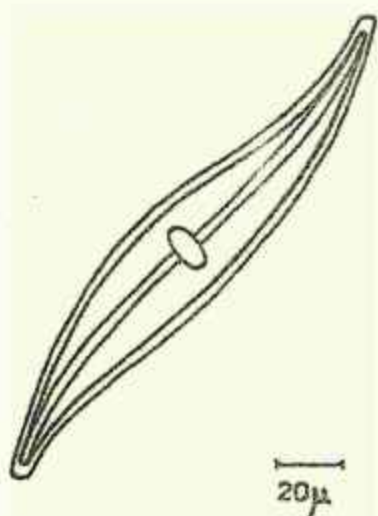
Fig. 36. Odontella sinensis (= Biddulphia sinensis). Célula típica en vista conectival; ancho: 86 μ.

Pleurosioma sp.

Cupp, 1943, p. 194.

Figs. 37, 38, pp. 92, 93.

Valvas lineares o lanceoladas, usualmente sigmoides. Rafo usualmente sigmoides, central o excentrico. Estrías finas en líneas oblicuas y transversales. Nódulo central usualmente pequeño y redondeado. Células angostas en vista conctival. Cromatóforos usualmente en dos bandas, una en cada valva. Especie litoral o se fundo; a mundo se encuentra en el plancton.



20 μ

Fig. 37. Pleurosigma sp. 1. Célula entera; largo: 177 μ ;
diámetro : 43 μ .

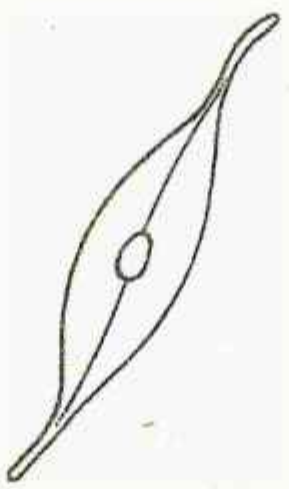


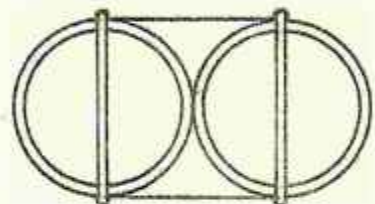
Fig. 38. Pleurosigma sp. 2. Célula entera.

Pyxidicula cruciata Ehrenberg.

Jiménez, 1976, p. 17, lám. 4, fig. 8.

Fig. 39, p. 95.

Células solitarias o en pares, valvas hemisféricas en frústulos globulares. Con grandes areolas, no existe constrictión entre la valva y el conectivo, no hay espinas ni procesos. Diámetro 20-30u. Especie estuarina de agua salobre.



10 μ

Fig. 39. Pyxidicula cruciata. Célula en vista conectival
(Frústulas globulares); diámetro: 30 μ .

Rhizosolenia sp.

Cupp, 1943, p. 79.

Fig. 40, p. 97.

Células cilíndricas con eje perpendicular grandemente elongado, viendo solas o en cadenas compactas o sueltas. Células usualmente rectas o raramente curvas, formando cadenas espiralmente torcidas. Corte transversal elíptico o circular. Bandas intercelulares usualmente muy numerosas, pero en algunas especies difíciles de ver. Sólo unas pocas especies con bandas intercelulares en forma de anillo; en la mayor parte de las especies son rámbicas, como trapezios o en forma de escamas. Sus líneas de separación son llamadas líneas de imbricación. Las valvas, llamadas caliptrias en este género, son en algunas especies casi planas o en forma de cono agudo o de caperuza. Así mismo las valvas tienen procesos excéntricos, cortos o como cordas elongadas, despuntados o agudos, sólidos o huecos. En algunas especies los procesos están completamente ausentes y la valva está estirada hacia afuera para asemajar un proceso. Las células son la pared delgada y usualmente se caen cuando se seca. La estructura de la membrana, frecuentemente difícil de ver, consiste de puntuaciones o pequeños puntos arreglados en líneas. Los cramatóforos son numerosos, distribuidos sobre toda la pared celular, pero espacialmente reunidos en la zona de la cintura cerca del núcleo. En algunas especies son largos como láminas.

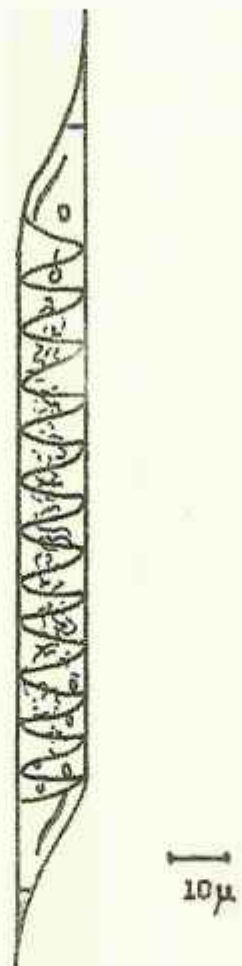


Fig. 40. Rhizosolenia sp. Célula vista de lado mostrando su escultura; diámetro: 12 μ .

Rhizosolenia alata Brightwell.

Cupp, 1943, p. 90, fig. 52-A.

Fig. 41, p. 99.

Células alargadas, cilíndricas, rectas; 7-18 μ de diámetro, altura de 1mm en longitud. Valva frecuentemente cónica terminada como un tubo con procesos más o menos curvados y oblicuos. Depresión en la base del tubo en la cual ajusta el ápice de la célula - colindante. Bandas intercalares como escamas, rombicas, en dos filas dorsiventrales. Pared celular delgada, débilmente silicificada, finamente estriada. Numerosos cromatóforos pequeños. Especie común, cosmopolita de regiones templadas-maladas a tropicales. Encuentra en el océano, marítima y áreas estuarinas. Tres variedades son corrientemente reconocidas y una es asociada con aguas oceánicas.

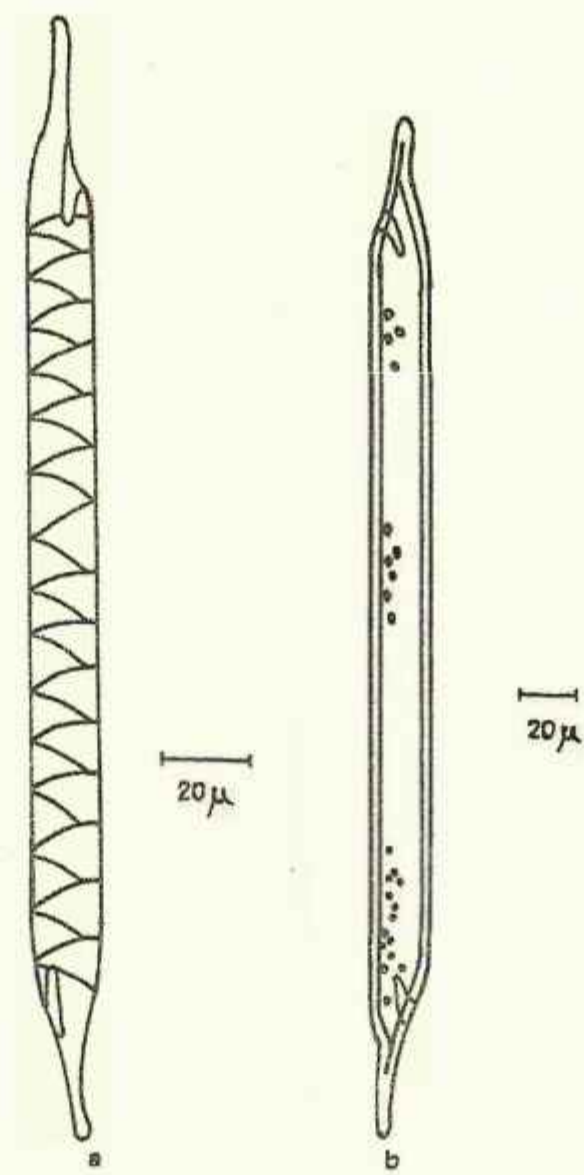


Fig. 41. *Rhizosolenia alata*. a, célula entera vista de lado
mostrando las bandas intercalares; diámetro: 14 μ .
b, célula entera; diámetro: 23 μ .

Rhizosolenia calcar-avis Schultze.

Cupp, 1943, p. 89, fig. 51.

Fig. 42, p. 101.

Células en forma alargada, cilíndricas, regularmente cónicas, curvas en el ápice. Célula de 6-53 μ de diámetro, arriba o cerca de 1 mm. de longitud. Bandas intercalares como escamas rombicas. Líneas de imbricación difíciles de ver. Procesos fuertes, gradualmente disminuyendo en tamaño de la base a la punta, curva como una garrilla. No presenta alas en los procesos. Pared celular delgada y débilmente silicificada, delicadamente punteada. Cromatóforos pequeños, numerosos. Especie común. La mayor parte de las especies son de aguas cálidas, pero encontradas en regiones templadas-heladas a tropicales. Ampliamente distribuido y aparece en medios ambientales oceánicos a estuarinos, pero reportada usualmente como una forma oceánica.

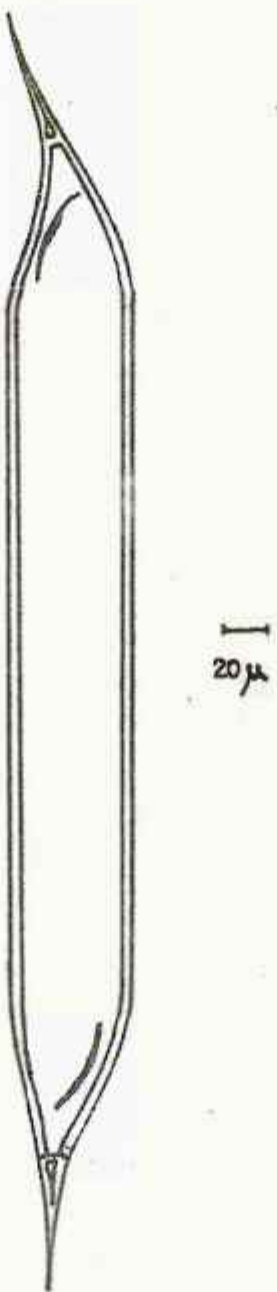


Fig. 42. Rhizosolenia calcaravis. Célula entera; diámetro:
55 μ .

Rhizosolenia robusta Norman.

Cupp, 1943, p. 38, fig. 45.

Fig. 43, p. 103.

Células cilíndricas con valvas profundas convexas o cónicas - curvas, de 48-130 μ de diámetro, arriba de 1/2 mm. o también 1 mm. - de longitud. Plano valvar elíptico. Usualmente solitaria o en co-
denas cortas. Bandas intercalares anchas, numerosas, típicamente -
en forma de collares. Calíptra con líneas longitudinales definidas
(sectorus desarrollados) y procesos excéntricos con un fino punto
como corda y súbitamente dilatado, hueco en la base. Pared celular
delgado, pero fuertemente silicificada. Membrana delicadamente --
punteada. Numerosas cromatóforos. Núcleo cerca de la pared. Amplia-
mente distribuida, especialmente en aguas cálidas, de regiones tem-
pladas-heladas a tropicales. Encontrada en todos los reinos: oceá-
nico a estuarino.

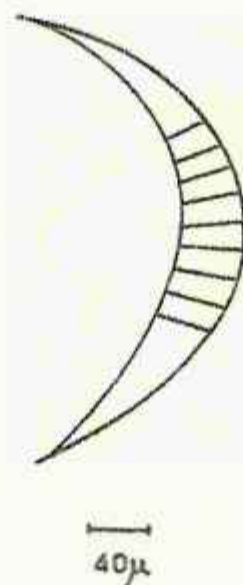


Fig. 43. *Rhizosolenia robusta*. Célula en vista conectorial;
diámetro: 50 μ .

Rhizosolenia stolterfothii H. Péragallo.

Cupp, 1943, p. 83, fig. 45

Fig. 44, p. 105.

Células cilíndricas, de 6-30 μ en diámetro. Uniformemente curvadas a lo largo del eje per伏lar. Unidas en cadenas curvas, a menudo en espiral. Valvas planas, redondeadas en los bordes. Espina fuerte en el margen de la valva, que ajusta en la depresión de la célula adyacente. Bandas intercalares numerosas, como collares. Linhas d' imbricación no siempre definidas, pero muy claras algunas veces. Pared celular débilmente silicificada, sin estructuras detectables. Numerosas chromatóforos, pequeños, ovales. Núcleo cerca de la pared. Común y a menudo abundante. Especie cosmopolita de regiones templadas-haladas a tropicales. Principalmente una forma nerítica y estuarina.

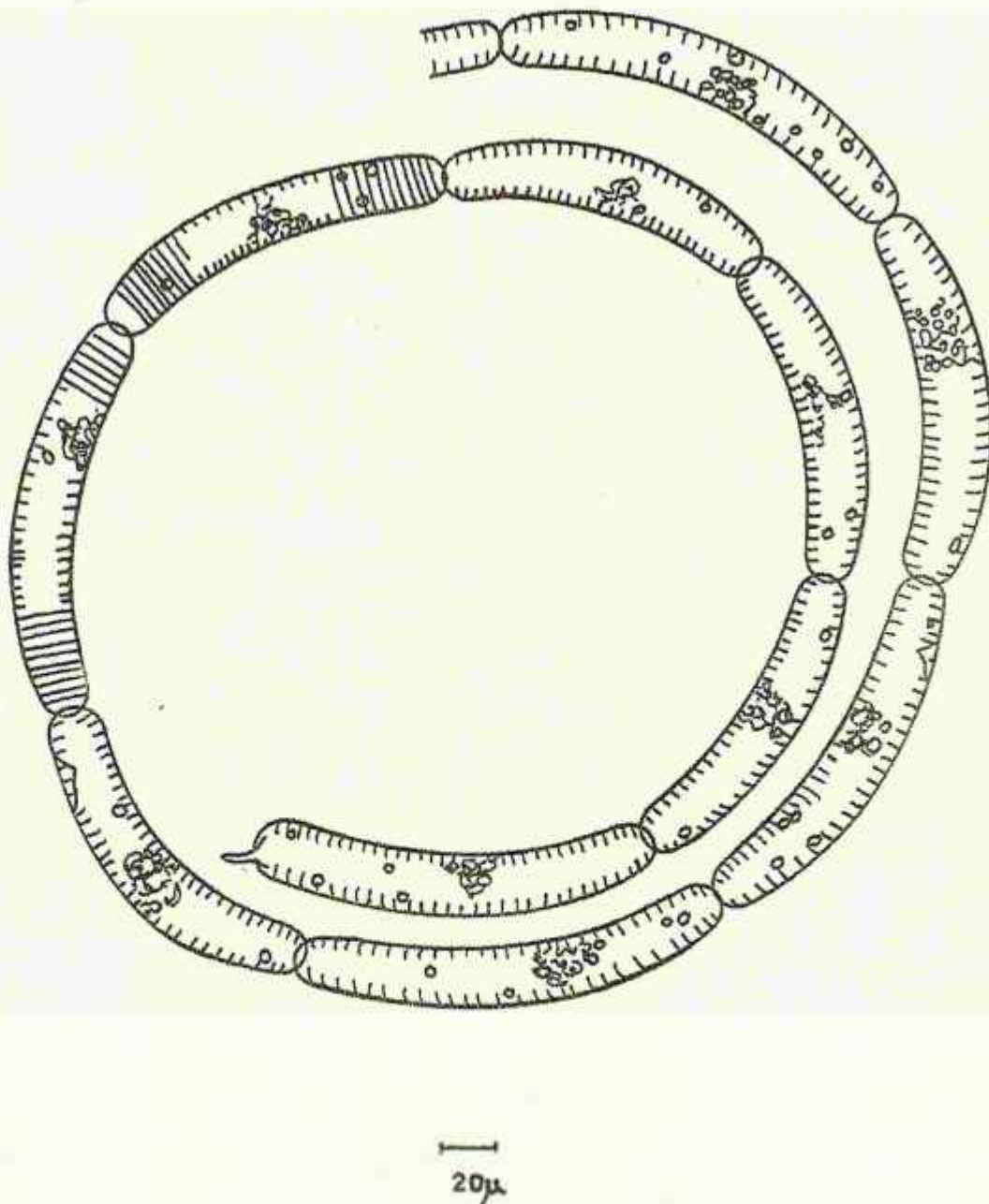


Fig. 44. Rhizosolenia stoltzfithii. Cadena, algunas células mostrando bandas intercalares; diámetro de las células: 20 μ .

Skeletonema costatum (Graville) Cleve,

Cupp, 1943, p. 43, fig. 6.

Fig. 45, p. 107.

Células en forma delgada, elíptica o cilíndrica con terminaciones redondeadas. Cadenas largas, delgadas, usualmente rectas. Células unidas en cadenas sólo por la parte media de las espinas. Espacio entre células usualmente o a menudo tan largo como la célula misma. Dos chromatóforos. Núcleo central. Diámetro de la célula d. 3-20u. La diatomée central más común, ampliamente distribuida en el mundo, a menudo dominante en el plancton. Una especie nerítica y estuarina.

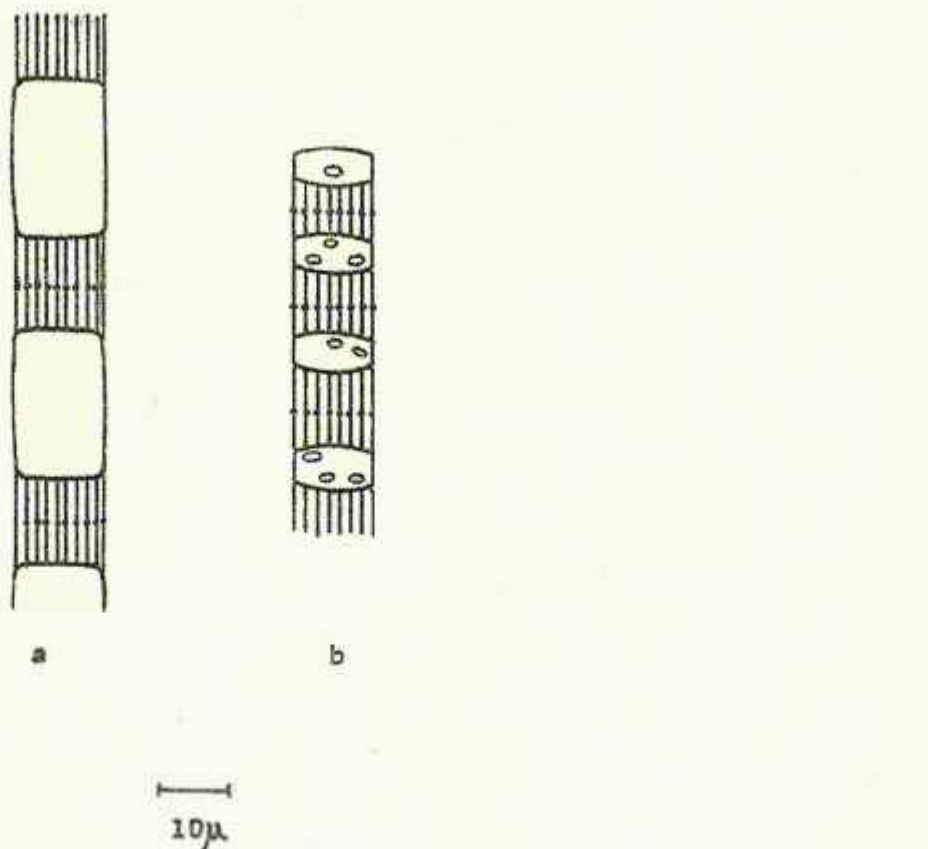


Fig. 45. Skeletonema costatum. a, colonia, diámetro de las células: 14 μ . b, colonia, diámetro de las células: 17 μ .

Stephanogyxis turris (Greville and Arnott) Ralfs.

Cupp, 1943, p. 40, fig. 3.

Fig. 46, p. 109.

Células circulares, elongadas o elipsoidales con 12-16 espinas en cada terminación de la célula y líneas definidas en la mitad de la fusión entre células vecinas. Espinas ligeramente opuestas en los extremos. Diámetro de las células 36-57 μ . Arecación gruesa, todas casi del mismo tamaño, no pequeñas o ligeramente pequeñas en el margen de la valva. Cintura entre dos células dejando un espacio entre las mitades de dos células alternas. Especie bastante común, ampliamente distribuida de regiones templadas-heladas a tropicales. Una especie nerítica.

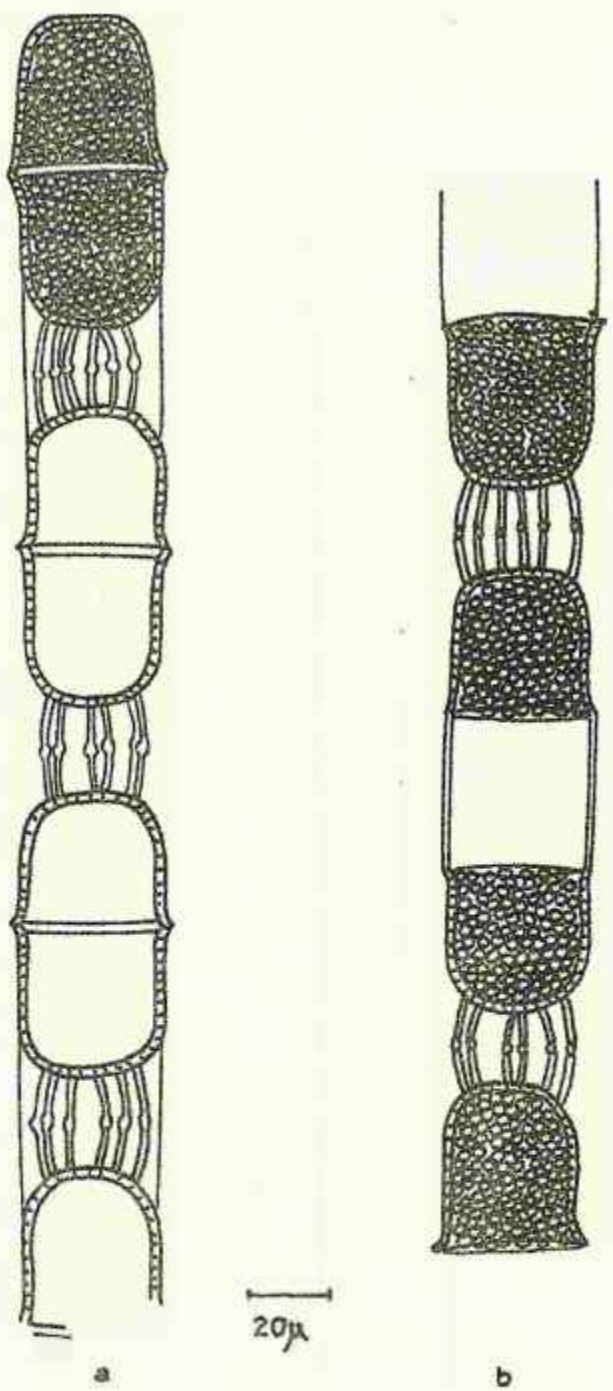


Fig. 46. *Stephanopyxis turris*.

a-b, cadenas de células vegetativas mostrando areolación; diámetro de las células: 34 μ .

Thalassionema nitzschiaoides Grunow.

Cupp, 1943, p. 182, fig. 133.

Figs. 47, 48, pp. 111, 112.

Células lineares y angostas en vista conectiva, muchas veces ligeramente curvas. Valvas lineares, angostas con laderas paralelas y terminaciones romas-redondeadas. Largo de 30-80u; ancho 2-3.5u. Espinas marginales pequeñas. Células unidas en colonias un forma - da estrella o bandas en zig-zag, frecuentemente ambos tipos dentro de una colonia. Especie común, cosmopolita de regiones templadas-heladas a tropicales. Una especie norítica y estuarina.

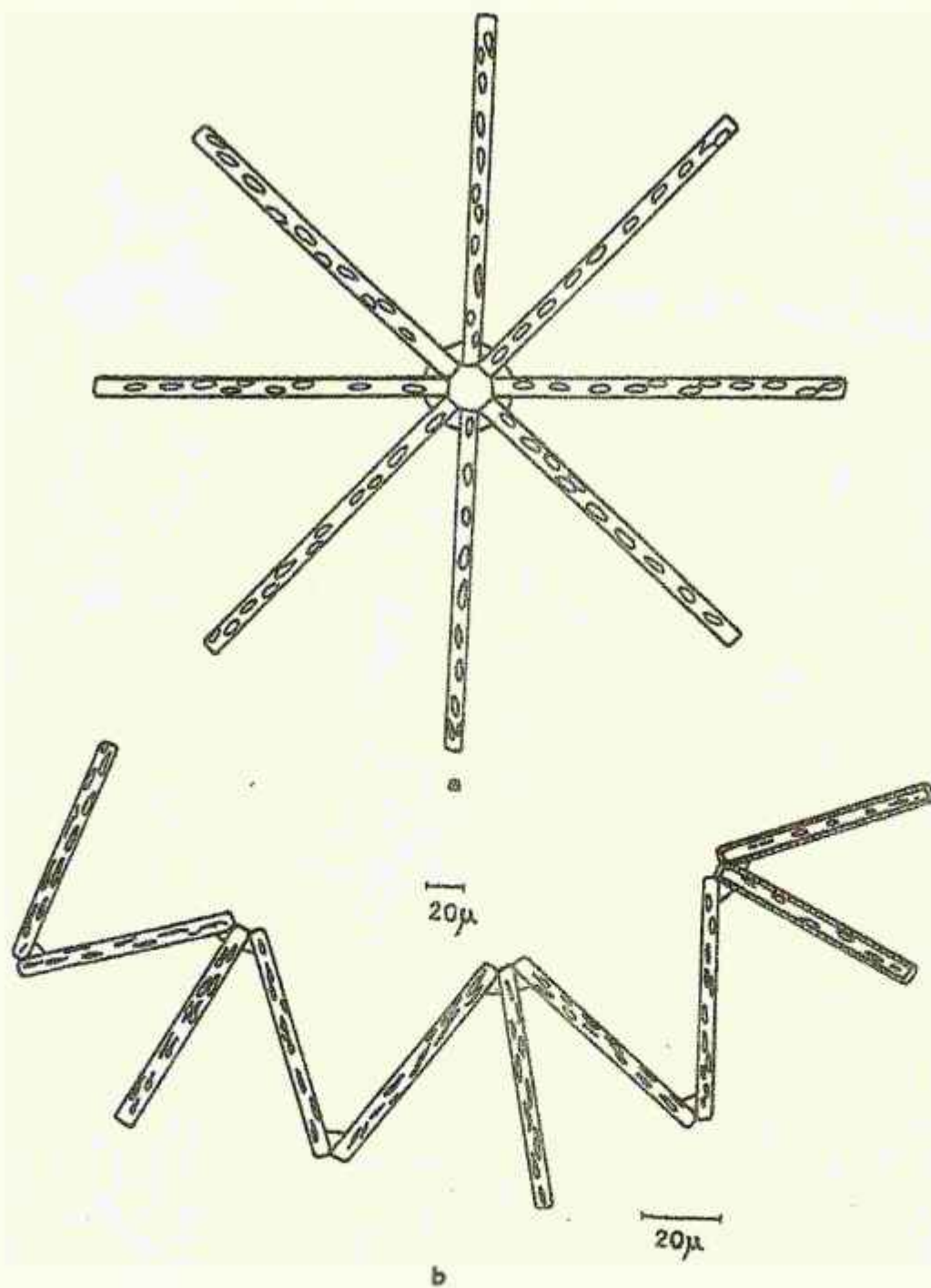


Fig. 47. *Thalassionema nitzschiooides*. a, colonia en forma de estrella; células en vista conectival; largo de las células: $171\ \mu$; diámetro: $5\ \mu$. b, colonia en forma de zig-zag; células en vista conectival; largo de las células: $57\ \mu$; diámetro $5\ \mu$.

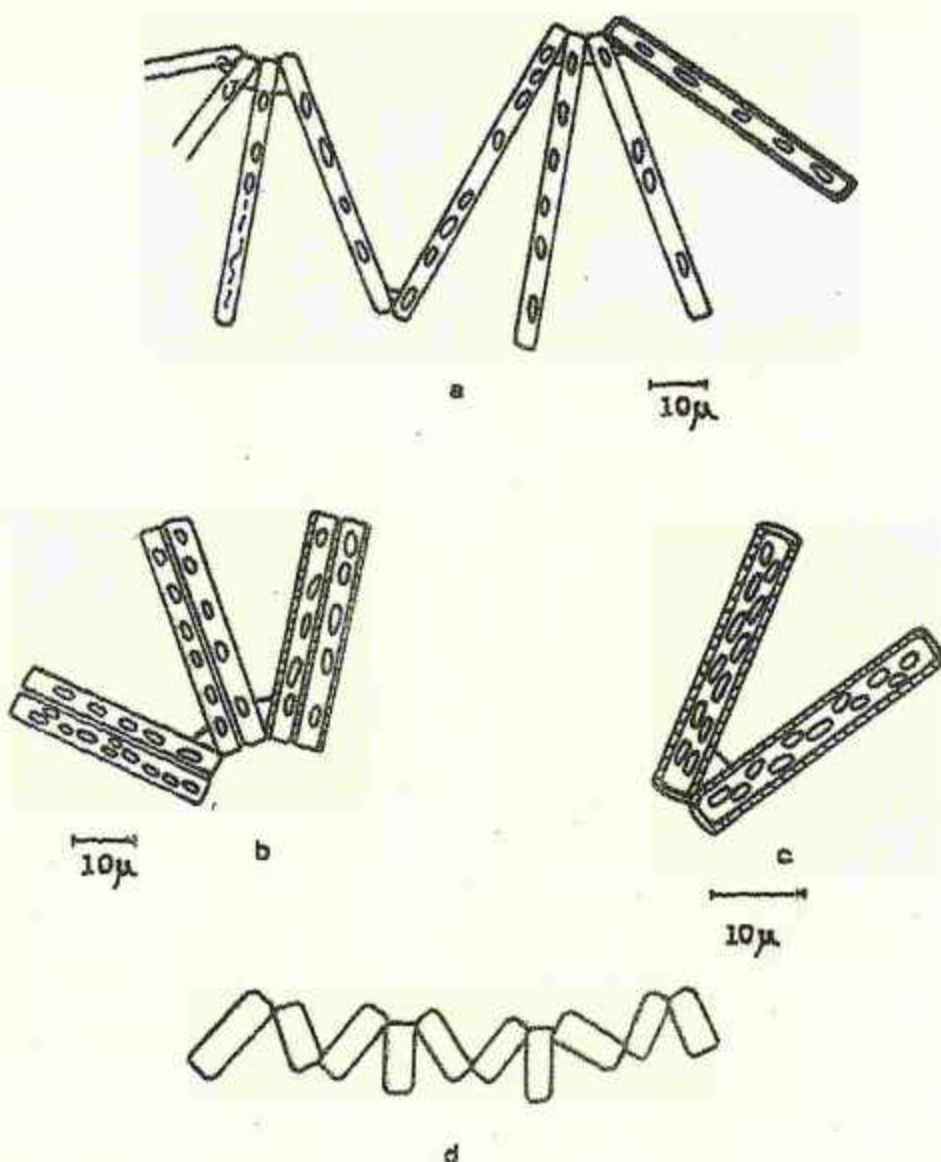


Fig. 48. *Thalassionema nitzschiooides*. a, colonia; largo de las células: 57μ ; diámetro: 4μ . b, células recientemente divididas en vista conectival; largo de las células: 37μ ; diámetro: 5μ . c, células en vista valvar; largo de las células: 31μ ; diámetro: 5μ . d, colonia en zig-zag.

Thalassiosira polychorda Hasle (=Coscinodiscus polychorda).

Cupp, 1943, p. 44, fig. 7.

Fig. 49, p. 114.

Células en forma de tambor o cilíndros cortos con valvas planas, de 29-61 μ de diámetro, con una fila sencilla de espinas en el margen. Unidas en cadenas sueltas por varios hilos gelatinosos de largo considerable. De cuatro a nueve hilos gelatinosos arrugados en un círculo cerca del centro, alcanzando a la célula adyacente y formando así las cadenas. Bandas intercalares usualmente bien definidas. Areolación definida, arreglada en filas paralelas a los radios medios. Contenido celular denso y oscuro. Numerosos crontóforos pequeños. Especie templada del norte. Ampliamente distribuida. Neríticas.

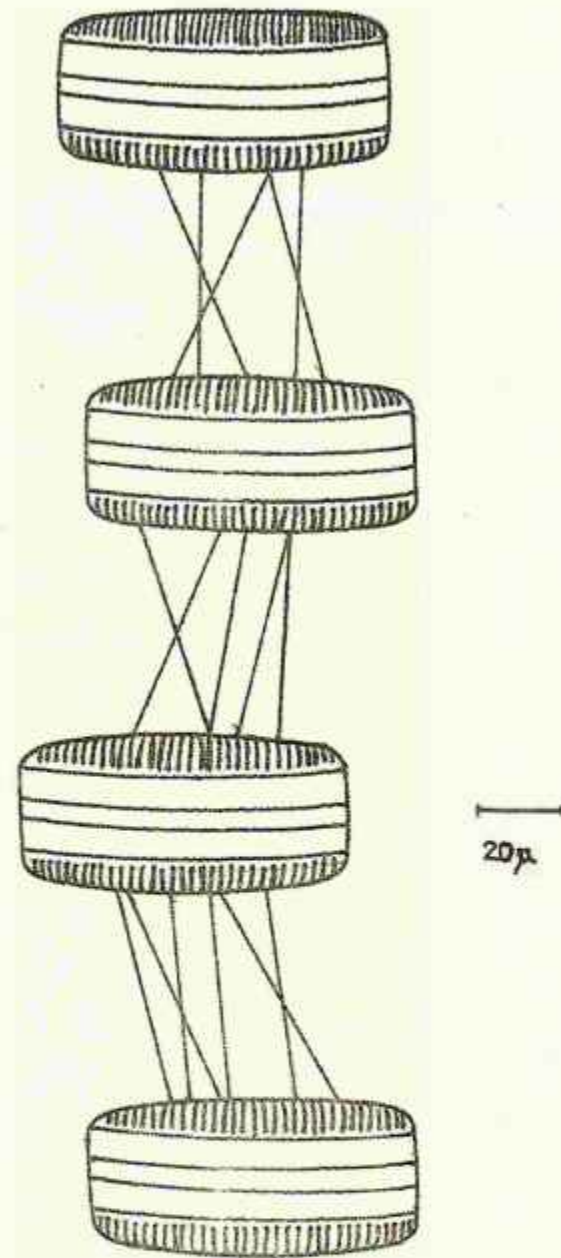


Fig. 49. Thalassiosira polychorda. (= Coscinosira polychorda)

Cadena de células vegetativas; diámetro de las células : 71 μ.

Thalassiothrix frauenfeldii Grunow.

Cupp, 1943, p. 184, fig. 135.

Fig. 50, p. 116.

Células unidas en colonias en forma de estrella o bandas on zig-zag. Linear en vista conectival. Valvas lineares muy angostas, terminaciones ligeramente distintas; una terminación redondeada, la otra usualmente ensanchada que disminuye para formar una punta en forma de cuña. Valvas de 90-210 μ de largo, 2-4 de ancho. Pequeñas espinas marginales pero regulares. Especie común, algunas veces numerosa. Especie cosmopolita de regiones templadas-haladas a tropicales, principalmente descrita como oceánica, pero encontrada en estuarios.

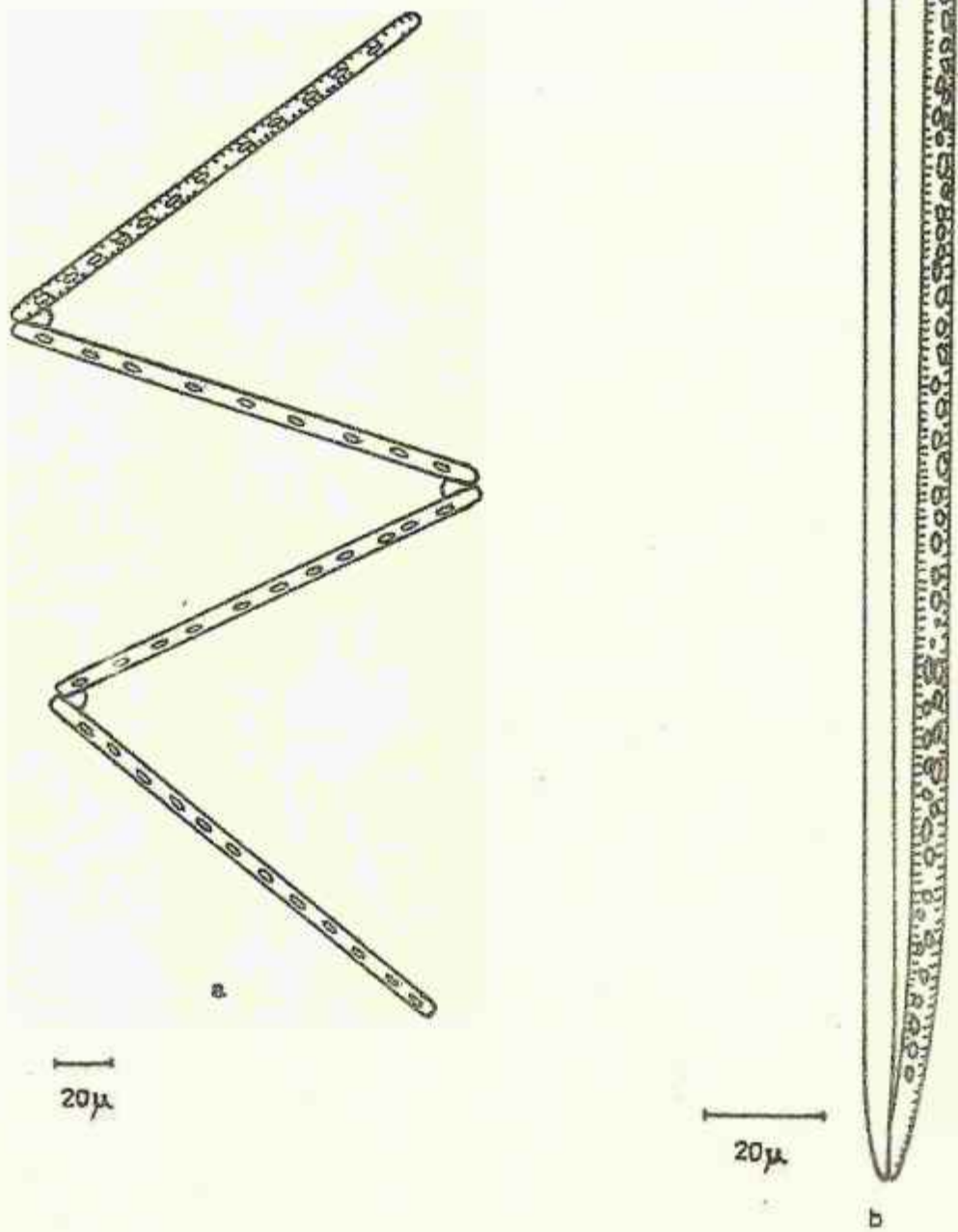


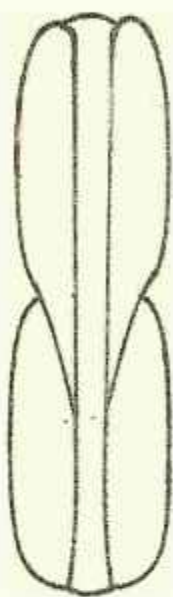
Fig. 50. *Thalassiothrix frauenfeldii*. a, colonia en forma de zig-zag; largo de las células: 177 μ . b, células en vista valvar mostrando las terminaciones; largo de las células: 237 μ .

Tropidoneis lepidoptera (Gregory) Cleve,

Cupp, 1943, p. 197, fig. 149.

Fig. 51, p. 118.

Célula rectangular, linear-oblonga, comprimida en la parte media. Valvas lanceoladas, ala unilateral, proyectada cerca del nódulo central. Estrías transversales. Largo de los valvas 200-350u. Litoral.



—
20 μ

Fig. 51. Tropideneis lepidoptera. Célula en vista conectival;
largo: 171 μ ; diámetro: 57 μ .

DISCUSION

Se identificaron un total de 29 géneros y 50 especies. En -- trabajos similares, Corral & Genicio de Corral (1970) identificaron 25 géneros y 67 especies para la costa noroccidental africana; Ávaria (1971) identificó 81 especies y variadades para la Bahía de Valparaíso (Chile); Moreira Filho et al. (1971), 41 géneros y 92 -- especies en Puerto Salaverry (Perú); Mayer Rosa & Wilhelms Aguiar (1973), 36 géneros y 85 especies en la costa del Río Grande del -- Sur (Brasil); Licea-Durán (1974), 46 géneros y 250 especies para la Laguna de Aguaibampo (Méjico); Jiménez (1976), 55 géneros y 180 especies para el Golfo de Guayaquil (Ecuador); Burselato & Wilhelms Aguiar (1979), 40 géneros y 90 especies en el río Mompituba y río Grande del Sur (Brasil); Rivera & Valdés Benito (1979); 50 géneros y 104 especies en las desembocaduras de los ríos Chivilingo, Larquique y Carrapangue (Chile). Los resultados obtenidos en el trabajo -- están dentro de un marco comparable, ya que se encontraron 50 especies en un área restringida como es la Bahía de Jiquilisco.

Del total de géneros, 10 especies no pudieron ser reconocidas debido a la falta de literatura especializada, problema que también confrontaron Corral & Genicio de Corral (1970) y Licea-Durán (1974), los cuales expresan que en varios casos no les fue posible determinar ciertas especies por falta de literatura.

En general se encontraron más especies de diatomas centrales que pennales, lo cual es confirmado por Hasla (1978), quien señala que en el plancton marino las diatomas centrales están mejor representadas que las pennales.

A parte de las variaciones en la composición de la flora asociada con las diferentes masas de agua del mundo, también son encontradas diferencias entre el fitoplancton de la costa o nerítico y al mar abierto o plancton oceánico, lo mismo que en aguas tropicales y templadas, Cupp (1943) acepta la opinión que las diatomas planctónicas son abundantes en aguas costeras que en el océano abierto en aguas templadas, especialmente en aguas templadas del norte, que en mares tropicales y en ciertas estaciones del año que en otras. Además, Chapman & Chapman (1973) afirman que el plancton nerítico es comúnmente rico porque las aguas costeras contienen más nutrientes y también porque hay especies derivadas de comunidades litorales no planctónicas. Por lo anteriormente expuesto, se puede afirmar que las diatomas encontradas en el presente trabajo resultaron ser abundantes ya que pertenecen a una zona costera o nerítica, pero aún este número se considera bajo por haber trabajado en una región tropical.

Las especies encontradas, por formar parte del fitoplancton, son de gran importancia ecológica, intervienen en la productividad primaria, introduciendo de ese modo la energía a los sistemas marinos activando las cadenas alimenticias, Jiménez (1976) afirma

que el concepto de considerar a las diatomeas como el pasto del mar y equivalentes al pasto de los campos en la tierra, comenzó al principio del siglo con los trabajos de Johnston.

Las diatomeas son alimento favorito de especies de camarones y peces, especialmente los géneros Chaetoceros y Coscinodiscus, y las especies Skeletonema costatum, Lithodesmium undulatum, --- Thalassionema nitzschicoides y Asterionella glacialis. Al respecto, Bardach *et al.* (1972), afirman que las diatomeas forman parte de la dieta de camarones, por esta razón siempre son incluidos en el alimento de cultivos de ellos en muchas partes del mundo. De Meneghini (1978), ha encontrado muchas especies de diatomeas formando parte del alimento de la anchoveta en todas las épocas del año.

La Bahía de Jiquilisco es un área rodeada de manglares, significando ésto que es una zona muy productiva en especies animales, tales como camarones, peces, moluscos-bivalvos, etc., los cuales se alimentan de ciertas especies de diatomeas que se han logrado identificar en este trabajo, principalmente Skeletonema y Chaetoceros que son los géneros más abundantes en esta zona y que requieren de condiciones especiales para su mantenimiento en cultivos.

El presente trabajo contribuye de esta manera con lo particular-

tura, ya que se identificaron las especies que son la base para las cadenas alimentarias. Además, la Bahía es una región costera con desembocaduras de ríos, presentando, por lo tanto, un conjunto de condiciones que favorecen la proliferación del plancton, dando lugar a aguas fértils que proporcionan el desarrollo de peces y otros organismos. Esto es confirmado por Meyer Rosa & Wilhelms Aguiar (1973), quienes afirman que las regiones costeras con desembocaduras de ríos o lagos presentan un conjunto de condiciones para la multiplicación del plancton y consecuentemente al desarrollo de otros organismos.

CONCLUSIONES

El presente trabajo es el primero de esta naturaleza que se reporta para la Bahía de Oiquilisco y para el resto de la costa de nuestro país. Se encontraron 50 especies de diatomeas, lo que refleja la gran diversidad en esta zona tan importante en la economía pesquera, pero se debeclarar que el estudio de los muestras no ha sido totalmente exhaustivo, por lo que se pudieron encontrar aún más especies aparte de las ya descritas. Se recomienda la realización de más muestras a lo largo de la Bahía para incrementar los conocimientos en cuanto a número de especies presentes, especialmente en las desembocaduras de ríos donde hay mucha proliferación de plancton.

Para la recolección de muestras se recomienda el uso de botellas Van-Dorn, ya que se obtiene mayor número de especies, no así con las redes planctónicas las cuales son selectivas; es decir que muchas especies, debido a su tamaño pequeño, tienden a salir por la malla en el momento del arresto.

Debe evitarse la identificación basada solamente en ilustraciones, puesto que algunos esquemas presentan detalles que no son significativos en la taxonomía. Por otro lado hay especies que son similares y sólo el autor podrá esclarecer como distinguirlas.

Por lo tanto, el esquema debe acompañarle el respectivo texto que incluirá más información en variación y estructuras morfológicas sobresalientes de las especies estudiadas.

De acuerdo a los resultados obtenidos podemos señalar que el presente trabajo es una base para futuras investigaciones, especialmente en el área pesquera, pues muchas de las especies aquí reportadas forman parte de la dieta alimenticia de ciertas especies de camarones y peces, contribuyendo de este modo a la maricultura, teniendo influencia en la economía pesquera del país.

Por lo anteriormente expuesto surge la necesidad de continuar este trabajo, para tener bases que den solidez a la taxonomía de este grupo, y también para contribuir al desarrollo pesquero de El Salvador, mediante el conocimiento de este grupo que forma parte del fitopláncton. Queda pues abierto el campo para futuras investigaciones sobre estos organismos, no solamente en el ñirco de la Bahía de Jiquilisco, sino también en otras playas de El Salvador donde el recurso pesquero va en constante desaparición.

LITERATURA CITADA

- AVARIA P., S. 1971. Variaciones mensuales del fitopláncton de la Bahía de Valparaíso, entre julio de 1963 y julio de 1966. *Revista de Biología Marina* 14(3): 15-43.
- BARDACH, J. E., J. H. RYTHER & W. D. McLARNEY. 1972. Aquaculture. 2nd. Ed. Wiley-Interscience, New York. 868 pp.
- BURSELATO, T. C. & L. WILHEIMS AGUIAR. 1979. Diatomáceas do Rio---Kempituba, Torres, Rio Grande do Sul, Brasil. *Iheringia, Botânica* (24): 91-123.
- CALDERON, M. G. & R.A. HERNANDEZ. 1975. Estudio Biológico-pesquero de la Bahía de La Unión. Memorias del II Simposio Latinoamericano sobre Oceanografía Biológica. Universidad de Oriente, Cumaná-Venezuela.
- CORRAL E., J. & N. F. GENICIO DE CORRAL. 1970. Nota sobre el plancton de la costa noroccidental africana. *Boletín del Instituto Español de Oceanografía* 140: 1-54.
- CUPP, E.E. 1943. Marine plankton diatoms of the west coast of North America. *Bulletin of the Scripps Institution of Oceanography of the University of California* 5(1): 1-238.

CHAPMAN, M.A. & D. J. CHAPMAN. 1973. The algae. 2nd Ed. The Macmillan Press Ltd., London. 497 pp.

DE MENDIOLA, B. R. 1970. El alimento de la anchoveta Engraulis ringens J. en una zona de afloramiento (San Juan). Inf. Inst. Mar del Perú 49: 1-16.

FERRARIO, M. E. 1975. Diatomos del Lago Puelo (Prov. del Chubut, Argentina), I. Darwiniana 19 (2-4): 207-284.

GOLLEY, F. B. 1972. Energy flux in ecosystems. In: J. A. Wiene (ed.), Ecosystem Structure and Function. Oregon State University Press, Corvallis, pp. 69-88.

CUTIERREZ, L. A. 1979. Datos preliminares sobre concentración de pigmentos fotosintéticos y fitoplancton en el Estero "El Tamindo". VI Simposio de Oceanografía Biológica. San José, Costa Rica.

HASLE, G. R. 1960. Phytoplankton and ciliate species from the tropical Pacific. Skrifter utgitt av Det Norske Videnskaps-Akademie i Oslo. I. Mat.-Naturv. Klasse 2: 1-58.

1964. *Nitzschia* and *Fragilariopsis* species studies
in the light and electron microscopes. Skrifter utgitt av Det
Norske Videnskaps-Akademie i Oslo. I. Mat.-Naturv. Klasse. Ny
Series No. 16.

1973. *Thalassiosira*. Norsk. J. Bot. 20(1) : 22-26.

1976. a. *Rhizosolenia*. Apuntes del curso 1976. --
SCOR/UNESCO, Oslo. pp. 30-33.

1976. b. *Nitzschia*. Apuntes del curso 1976. --
SCOR/UNESCO, Oslo. pp. 34-38.

1977. The use of electron microscopy in morphologi-
cal and taxonomical diatoms studies. 1. Contributions of the
study of diatoms to biology. In: D. Werner (ed.), The Biology
of Diatoms. University of California Press, Berkeley. pp. 1-3.

1978. Identification problems. General recomenda-
tions. In: A. Sournia (ed.), Phytoplankton Manual. Monographs

- on Oceanographic Methodology 6. UNESCO, Paris, pp. 125-128.
- HENDEY, N. I. 1964. An introductory account of the smaller algae - of British coastal waters. Part V: Bacillariophyceae(Diatoms). Ministry of Agriculture, Fisheries and Food Fishery Investigations. Series IV.
- _____. 1971. Some marine diatoms from the Galápagos Islands. - Nova Hedwigia 22: 1-32.
- HUSTEDT, F. 1953. La flora de diatomas en paredones sobrehumedecidos en El Salvador. Comunicaciones. Inst. Trop. Invest. Cient. 2,5/6: 129-138.
- JIMÉNEZ, S., R. 1976. Diatomas y Silicoflagelados del Fitopláncton del Golfo de Guayaquil. Instituto Oceanográfico de la Armada del Ecuador. División de Biología Marina. 73 pp.
- LEBOUR, W.V. 1930. Planktonic Diatoms of North Seas. Printed for the Ray Society, London.

LICEA-DURAN, S. 1974. Sistemática y distribución de diatomales de la Laguna de Agruiaabampo, Son./Sin., México. An. Centro Cienc. del Mar y Limnol. Univ. Nac. Autón. México 1(1): 99-156.

_____, R. L. SORIA & P.T.GALVAN. 1980. Informe parcial - de los estudios de fitoplancton y productividad en la Sonda de Campeche durante la primera etapa, Centro de Ciencias del Mar y Limnología, Univ. Nac. Autón. México.

MARGALEFF, R. 1957. Fitoplancton de la Costa de Puerto Rico. Inv. Pusq. VI: 39-52.

_____. 1972. Las algas inferiores. In: Fundación La Salle (ed.). Ecología Marítima. Editorial Dossat S.A., Caracas, pp. 230-272.

MEYER ROSA, Z. & L. WILHELM'S AGUIAR. 1973. Diatomáceas de costas do Rio Grande do Sul, Brasil: I - Praia do Cassino-Rio Grande, - Iheringia, Botánica 21: 103-128.

MOREIRA FILHO, H. 1966. Contribuições ao estudo das Bacillariophyceae (Diatomáceas) no óger-ágar (geloso) e agarófitos. Botânica 16: 1-65.

_____, I. M.V. MOREIRA, A. A. PAJARES & I.I. TRIPPIA. 1971. Diatomáceas do Porto Salaverry. Botânica 26: 1-28.

MULFORD, R. A. & M. H. ROBERTS, Jr. 1965. Key to some of the marine diatom genera in Virginia waters. Virginia Institute of Marine Science. Gloucester Point, Virginia. Educational Series - No. 12 : 1-22.

PHIFER, L. D. 1933. Seasonal distribution and occurrence of planktonic diatoms at Friday Harbor, Washington. Univ. Wash. Publ. Oceanog. 1: 39-81.

RIVERA, P. & H. VALDEBENITO. 1979. Diatomas recolectadas en las desembocaduras de los ríos Chivilingo, Larequeta y Carampanuco, Chile. Goyana-Botânica. 35: 1-98.

ROSS, R., J. COX, N.I. KARAYEVA, D. G. MANN, T. B. B. PADDOCK, R. - SILDSEN & P. A. SIMS. 1979. An amended terminology for the siliceous components of the diatom cell. Nova Hedwigia Beih. 64 : 513-533.

SANTOYO, H. 1972. Variación estacional del fitoplancton y la hidrología en la Laguna de Yavaras, Sonora. Facultad de Ciencias Biológicas. Universidad Nacional Autónoma de México (Tesis de Biología).

_____, & M. SIGNORET. 1979. Fitoplancton de la laguna del mar muerto en el sur del Pacífico de México. An. Centro Cien. del Mar y Limnol. Univ. Nac. Autón. México 6 (2): 71-80.

SAUNDERS, R.P. & D.A. GLENN. 1969. Diatoms. Fls. Mar. Res. Publ. 1(3) : 1-119.

SIMONSEN, R. 1975. Proposals for standardization of diatom terminology and diagnosis. In: R. Simonsen (ed.), Third Symposium on Recent and Fossil Marine Diatoms. Kiel. pp. 323-354.

STRICKLAND, J. D. 1972. Research on the marine planktonic food web at the Institute of Marine Resources: a review of the past -- Seven years of work. Oceanogr. Mar. Biol. Ann. Rev. 10: 345-414.

TESTER, L. A. & K. A. STEIDINGER. 1979. Phytoplankton. Fla. Mar. Res. Publ. 43: 16-61.

VINYARD, W.C. 1974. Key to the Genera of Diatoms of the Inland -- Waters of Temperate North America. Mad River Press, Eureka, - California, 19 pp.

_____. 1975. Key to the Genera of Marine Planktonic Diatoms of the Pacific Coast of North America. Mad River Press, Eureka, California, 27 pp.

VON STOSCH, H. A. 1975. An amended terminology of diatom girdles. - In: R. Simonsen (ed.), Third Symposium on Recent and Fossil - Marine Diatoms. Kiel. pp. 1-35.

WERNER, D. 1977. Introduction with a note on taxonomy. 3. Classification of diatoms. In: D. Werner (ed.), The Biology of Diatoms. University of California Press, Berkeley. pp. 6-7.

ZEITZSCHEL, B. 1978. Why study phytoplankton? In: A. Sournia (ed.),
Phytoplankton Manual. Monographs on Oceanographic Methodology
6. UNESCO, Paris. pp. 1-5.

A N E X O S

ANEXO I

Clasificación de las diatomales según Hustadt
(1930).

(Tomado de Werner, 1977).

División : Bacillariophyta.

Clase : Diatomatae.

1. Orden : Centrales.

I. Suborden : Discinella.

1. Familia : Cescinodiscaceae.

a) Subfamilia : Melosiridinae.

b) Subfamilia : Coscinodiscinae.

c) Subfamilia : Skeletogenomeidae.

2. Familia : Actinodiscaceae.

a) Subfamilia : Stictodiscoides.

b) Subfamilia : Actineptycheidae.

c) Subfamilia : Asterolampidiidae.

3. Familia : Eupodiscaceae.

a) Subfamilia : Pyrgodiscoides.

b) Subfamilia : Aulacodiscoides.

c) Subfamilia : Eupodiscoides.

II. Sub-orden : Solenineae.

4. Familia : Soleniacées.

a) Subfamilia : Lauderioïdées

b) Subfamilia : Rhizosolenioïdées

III. Sub-orden : Bidulphiineae.

5. Familia : Chaetoceraceae.

6. Familia : Bidulphiaceae.

a) Subfamilia : Eucampioïdées

b) Subfamilia : Triceratioïdées

c) Subfamilia : Bidulphioïdées

d) Subfamilia : Isthmioidées

e) Subfamilia : Homialiosidées

7. Familia : Anaulacaceae

8. Familia : Eudiaceae

2. Orden : Pennales.

IV. Sub-orden : Araphidinoës.

9. Familia : Fragilariacées.

a) Subfamilia : Tabellarioïdées

b) Subfamilia : Meridionoïdées

c) Subfamilia : Fragilarioïdées

V. Sub-orden : Raphidioideinae.

10. Familia : Eunotiaceae

a) Subfamilia : Peronioideae.

b) Subfamilia : Eunotioideae

VI. Sub-orden : Monoraphidineae

11. Familia : Achnanthaceae

a) Subfamilia : Achnanthoidae

b) Subfamilia : Coccoenoioideae

VII. Sub-orden : Birophidineae.

12. Familia : Naviculaceae

a) Subfamilia : Naviculoideae

b) Subfamilia : Amphiproraideae

c) Subfamilia : Comphocymbellioideae

13. Familia : Epithemiaceae

a) Subfamilia : Epithemioideae

b) Subfamilia : Rhopalodioideae

14. Familia : Nitzschiaaceae

a) Subfamilia : Nitzschidiaceae

15. Familia : Surirellaceae

a) Subfamilia : Surirelloideae

ANEXO II

GLOSARIO

(Tomado de Moreira-Filho (1966), Vinyard (1974) y Ross et al. (1979).

- Alo : Proyección delgada de la superficie valvar, más desarrollada que la quilla, a menudo aparece cerca del eje apical de la valva, pero comúnmente en la unión de la valva con el manto valvar, donde la superficie valvar puede ser distinguiblemente elevada. El canal del rafe puede ser encerrado en el alo.
- Áreas Hialinas : Áreas donde la capa basal silicosa no es penetrada por areolas. Los siguientes tipos se encuentran en diatomeas pennales :
- a) Área axial : Campo hialino a lo largo del eje apical.
 - b) Área Central : porción expandida distinta del área axial. En diatomeas con un grueso módulo central, un área clara en el centro de la valva alrededor del módulo central es el área central. Área central que forma

una banda hialina extendiéndose a través de la valva.

c) Área Lateral :

Extensión apical de un área central expandido que divide la ostricación.

d) Área Terminal :

Expansión del área axial en el ápice de la valva, o un área hialina alrededor del nódulo terminal.

- Areola : Perforación regularmente repetida a través de la capa basal silicosa cubierta por un velo.
- Areolación : Áreas peligrosas o redondeadas en la pared de la valva, a menudo parecido a un panel.
- Bandas Conectivas : Parte interna en forma de anillo, la cual junto con el manto constituyen la valva. Las bandas conectivas aparecen como líneas en vista conectival (singular).
- Bandas Intercalares : Bandas de sílice que a menudo aparecen entre el manto valvar y la cintura. Hay variedad en número y ancho y algunas veces se

extienden dentro de la valva para formar un septo.

Bentónica : Especie que vive en el fondo del agua, sobre el substrato de la zona eufótica.

Canal del Rafe : Espacio en el lado interno del rafe cortando a menudo extendido que el resto del interior de la frústula.

Cara Valvar : Parte de la valva rodeada por el anillo.

Cíngulum : Porción de la cintura asociada con una sola valva.

Cintura : Bandas de sílice ligadas a cada manto valvar. Una cintura se traslape a la otra. - Parte de la frústula entre la epivalva y la hipovalva, compuesta de epicingulum más hipocíngulum.

Colonial : Grupo de células unidas por una secreción gelatinosa, todas de forma definida o amorfos.

- Collar : Costilla circular membranosa en el lado externo de la valva.
- Costilla : Cuerdas o espesuras que aparecen como líneas dobles en la pared.
- Cuerno : Proceso o elevación larga y delgada.
- Eje Apical : Eje longitudinal de una valva. El rafe o pseudorafe están situados en este eje o son excentricos a éste.
- Eje Paravalvar : Línea que conecta el punto medio de los dos valvas.
- Eje Transapical : Eje transversal de la valva.
- Eje Transverso : El eje de la valva que conecta los dos márgenes de la valva y es perpendicular al eje apical.
- Elevación : Porción elevada de la pared de la valva, no proyectada lateralmente, alejada del margen valvar; esta puede llevar sobre sí alguna estructura especial, pero en otras circunstancia tiene la misma estructura de la valva.

Epífita	:	Especie que vive sobre otro vegetal, sin extraer alimento de ésta, utilizándolo apenas como soporte.
Epivalva (Epiteca) :		La valva superior y por consiguiente la más vieja. Es la mitad de una frústula la cual ajusta exactamente sobre la hipostola.
Espina	:	Proceso elongado que va disminuyendo en extremo despuntado o agudo. Estructura cerrada o sólida proyectándose fuera de la superficie de la frústula.
Espínula	:	Espina muy pequeña.
Estría	:	Marca delicada, larga, como líneas, usualmente aparece en filas; una línea de puntuaciones muy próximas unas a las otras - que aparecen como una línea sólida.
	1. La estriación en diatomas centrales es:	
	a) Radial :	Cuando corren del centro de la valva hacia el margen,

b) Fasciculada :

cuanjo están agrupadas en paquetes y son paralelos a las estrías radiales. En cada paquete existe un fascículo.

c) Tangencial :

cuando hay hilares rectos o curvados radiados.

2. La estriación en dictomas ponejas

a) Paralela :

cuando está perpendicular a la línea media de la valva o al rafe.

b) Radiada :

cuando está inclinada desde el margen de la valva hacia el centro de la valva.

c) Convergente :

cuando está inclinada desde el margen de la valva hacia el ápico.

Eufótica : Zona en el fondo del agua donde penetra la luz solar.

- Frústula : Caparazón (concha) silicosa de una dictamen. La frústula comprende :
- a) Dos valvas, la epivalva y la hipovalva.
 - b) La cintura, que consiste de epicíngulum e hipocíngulum. La cintura está aparejadamente ausente en algunas especies fósiles.
 - c) La epivalva-epicíngulum, juntas constituyen la epiteca, que es la parte de la frústula que deriva de la célula parental.
 - d) La hipovalva-hipocíngulum, juntas constituyen la hipoteca, que es la parte de la frústula formada por la célula hija después de citokinesis.
- Hipovalva (Hipoteca) : La valva inferior (y más joven). Es la mitad de la frústula dentro de la epiteca.
- Lanceolada : Forma de lanza : larga y angosta con márgenes sub-paralelos y disminuida en el ápice.
- Lineal : Larga y delgada con lados paralelos.

- Litoral : Zona periódicamente sumergida por las mareas.
- Longitudinal : A lo largo del eje longitudinal.
- Manto Valvar : La parte más exterior de la valva que aparece en vista conoectival (circular), pero excluyendo la banda conectiva; la superficie se ve ancha en vista valvar.
- Nerítica : Especie planctónica que vive en aguas costeras, esto es, sobre la plataforma continental. Una diatomaa nerítica es aquella que pertenece a aguas poco profundas a lo largo de la costa.
- Nódulo : Pequeña protuberancia; porud interior expuesta localizada centralmente o en los polos.
a) Nódulo central : área gruesa entre los dos poros centrales del rofe.
b) Nódulo Terminal: espesamiento de la capa basal silicosa en una terminación del rofe, donde es-

te es una hendidura, o en la terminación apical de una rama del refu.

Oceánica : De o perteneciente al océano abierto; alejada de la orilla.

Oval : Elongada y redondeada con curvatura similar en ambos polos.

Pelágicas : Especie que vive en aguas oceánicas, esto es, fuera de la plataforma continental.

Planctónicas : Especie que vive flotando pasivamente en aguas dulces, salobres o marinas.

Plano Apical : Plano axial perpendicular al eje transapical.

Plano Transapical : Plano axial perpendicular al eje apical.

Plano Meridiano : Plano axial perpendicular al eje paraventral.

- Poro Central : Expansión como poro de la hendidura de una rama del rafe adyacente al nódulo central.
- Proceso : Marcada prominencia o parte proyectada con paredes homogéneamente silicificadas; cualquier extensión semejante a una espina o cuerno.
- Proceso Labiado : Un tubo o una abertura a través de la red de la valva con un tubo interna apuntando a hendidura longitudinal o menudo rodeada por 2 lobos.
- Puntuación : Diaminutos puntos, valva marcada usualmente en hileras.
- Quilla : Pestaña o proyección de la superficie valvar, usualmente más o menos excéntrica al eje apical. Esta encierra el canal del rafe, el cual es característico de ciertos géneros.

- Rafe : Hendidura axial (o pares de hendiduras) en la valva a través de la cual, el protoplasma puede fluir para estar en íntimo contacto con el medio ambiente. Característico de géneros con movilidad. Cuando un par de hendiduras está presente, cada hendidura tiene una rama del rafe. En las diatomeas donde el rafe no se extiende alrededor de la circunferencia de la valva, la estructura entre las dos ramas del rafe es el nódulo central; esto no está siempre presente.
- Septo : Porciones incompletas que corren paralelas con las valvas y las cuales resultan de extensiones internas de las bandas intercalares. Ellas pueden extenderse completamente a través de la valva o pueden ser sólo marginales en desarrollo. Un septo puede tener perforaciones.
- Sósil
- Seta :
- Parte delgada como corda, espina larga y delgada. Excrecencia hueca de la valva proyectándose hacia afuera del margen de la --

valva, con estructura diferente que la de la valva.

Seta terminal : Seta de los células terminales de una colonia. El espacio entre las valvas de células adyacentes en las colonias es llamado abertura o ventana.

Ticoplánctonico : Especie litoral o de fondo que vive ocasionalmente suspendida en el plancton.

Valva : Una de las dos mitades traslapadas de la frústula compuesta de una superficie plana u ondulada y un manto el cual separamplícular a la superficie.

NOTA: se utiliza el término "celiptra" para la valva especializada de Rhizosolenia.

a) Valva Primaria : la primera valva formada.

b) Valva Secundaria: la siguiente valva formada.

Estas dos valvas pueden o no diferir es-

structuralmente.

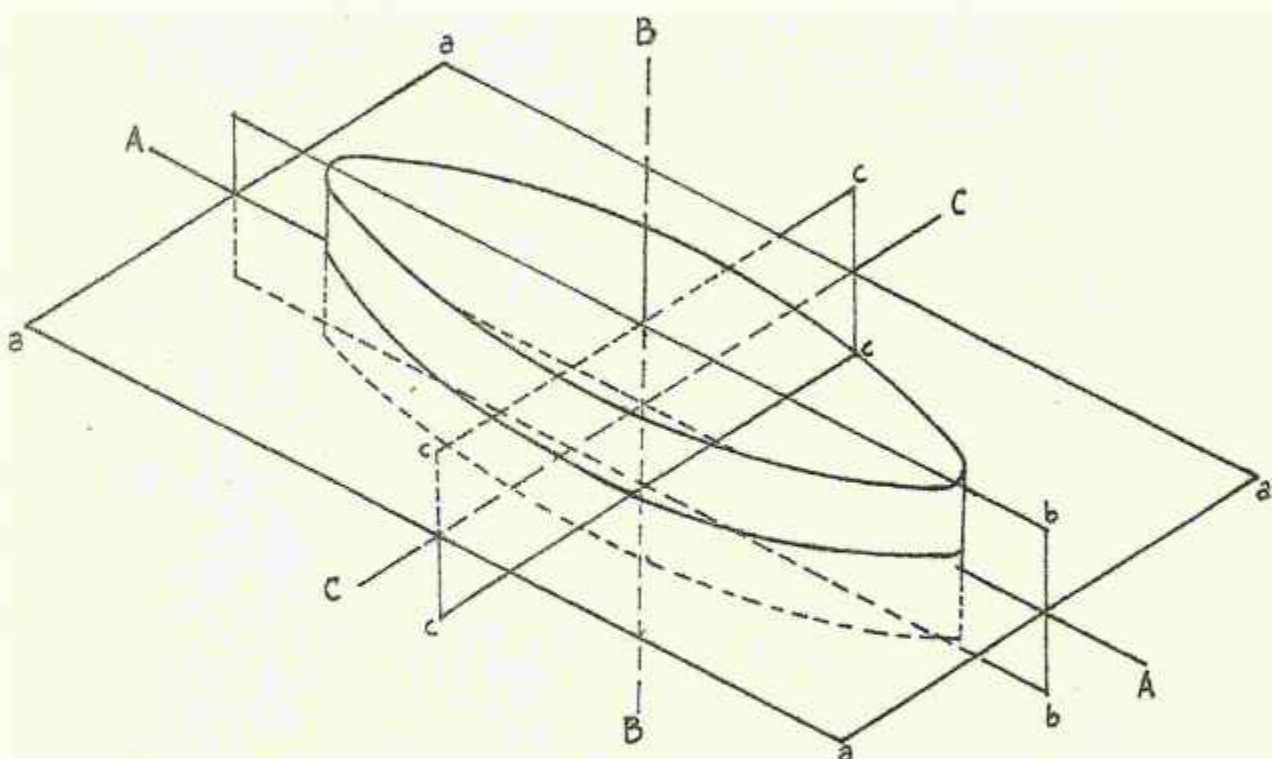
Vista Apical : Vista con el eje transapical paralelo al eje del microscopio.

Vista Conectival(cingular) : Vista de lado, con las valvas de la frústula traslapadas.

Vista Transapical : Vista con el eje apical volteado hacia el observador.

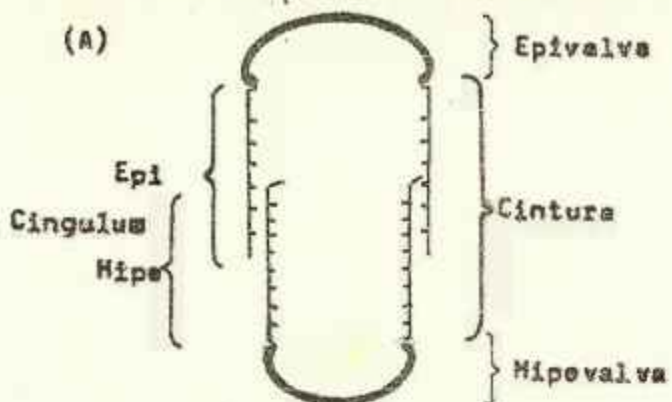
Vista Valvar : Vista, desde arriba o desde abajo, donde la superficie se ve ancha y plana; allíndio de la valva es más alto; la vista que se logra ver sobre la superficie convexa de la valva.

ANEXO III



ANEXO III. Planos y ejes de simetría de una diatomea pennal:
eje apical (A); eje perivalvar (B); eje transapical
(C); plano valvar (a); plano apical (b); plano --
transapical (c). Cuando la simetría no es bilate-
ral, sólo el eje perivalvar y el plano valvar pue-
den ser reconocidos. Tomado de Simonsen (1975) y
Ross et al. (1979).

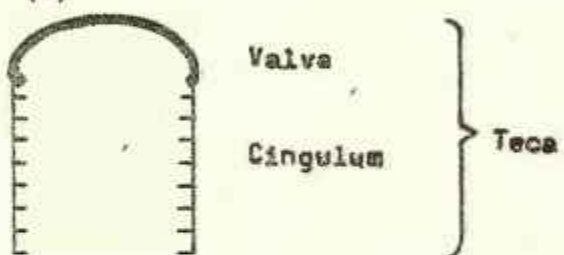
Epivalva + Epicingulum = Epiteca



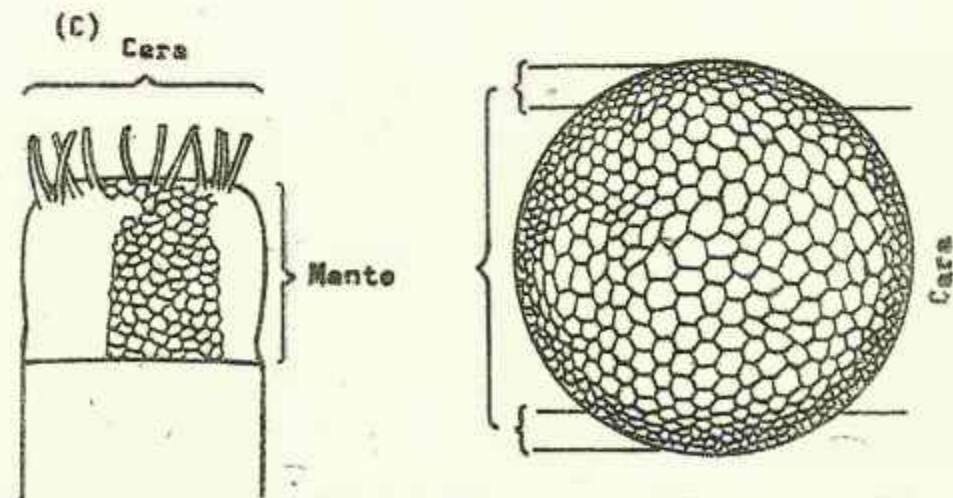
Mipevalve + Mipocingulum = Hipoteca

Epiteca + Hipoteca = Frustula

(B)



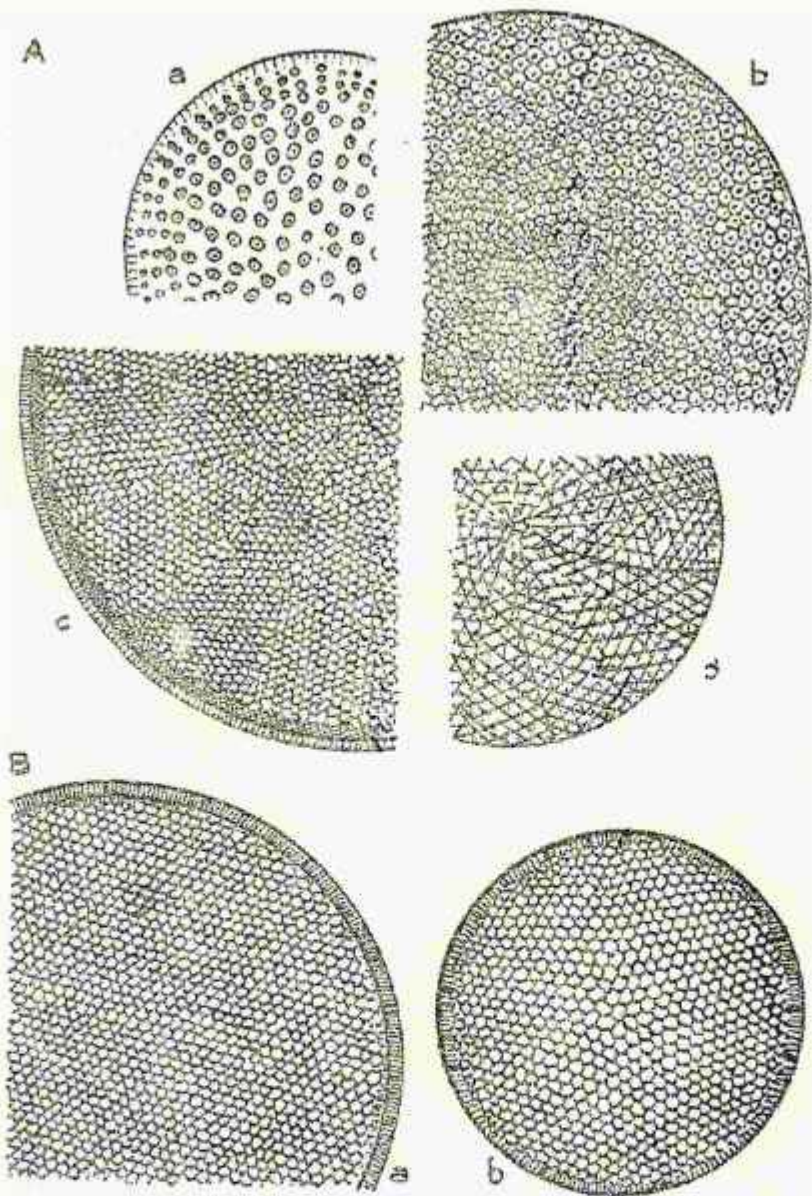
(C)



ANEXO IV. A, componentes de una frustula. B, componentes de la Teca. C, cara valvar y el manto.

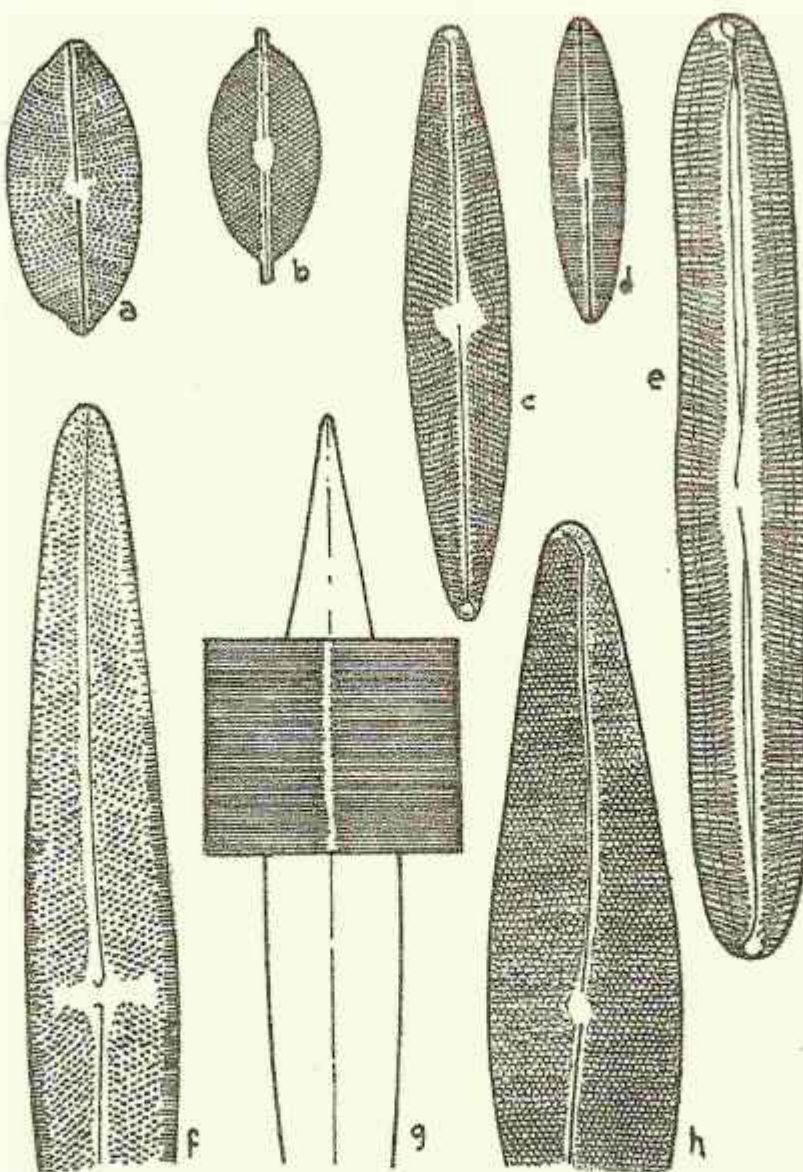
Tomado de Simonsen (1975).

ANEXO V



ANEXO V. Areolación en centrales. A, areolación radial: a, radial, areola sencilla; b, con hileras secundarias en espiral; c, d, radial, fasciculada; d, tipo curvado. B, areolación tangencial: a, hileras rectas (tipo lineal), b, hileras cóncavas hacia el margen (tipo excéntrica). Tomado de Simonsen (1975).

ANEXO VI



ANEXO VI. Estriación en Pennales. a, punteada, radiada; b, decusada-puntuada, radiada; c, lineal, radiada en la mitad, convergente al final; d, paralela; e, alveolada; f, loculada; g, transversal y longitudinal; h, transversal y oblicua. Tomado de Simonsen (1975).

